



تحلیل سیستم های ثانویه با میرایی متناسب تحت اثر مؤلفه های چندگانه زلزله با روش مد تغییر مکان

علیرضا فیوض، دانشجوی دوره دکترای سازه دانشگاه تربیت مدرس

محسن غفوری آشتیانی، استاد و رئیس پژوهشگاه

۱- چکیده

می شوند و معمولاً جرم آنها نسبت به جرم سازه اصلی کمتر است. کاربرد این سیستم های بیشتر در سازه های صنعتی مثل نیروگاه های هسته ای، اتاق های کنترل، تجهیزات الکترونیکی و کامپیوتری و ... می باشد. این سیستم ها به دلیل اهمیتی که دارند لازم است به صورت مناسبی در مقابل نیروهای زلزله تحلیل و طراحی شوند.

سینگ برای اولین بار با استفاده از روش ارتعاشات پیشا، طیف طرح طبقه را مستقیماً بر حسب طیف طرح زمین به دست آورد [۱]. در این روش، ابتدا تابع چگالی طیفی پاسخ درجه آزادی طبقه موردنظر بر حسب تابع چگالی طیفی زمین محاسبه و سپس از آن به عنوان ورودی یک سیستم یک درجه آزاد (به عنوان سیستم ثانویه) استفاده می شود و تابع چگالی طیفی پاسخ، میانگین مربعات و نهایتاً طیف طرح آن به دست می آید. با استفاده از طیف طرح طبقه می توان حداقل نیروهای واردہ به سیستم ثانویه را محاسبه نمود. این روش در سال ۱۹۸۳ توسط شارما و سینگ برای سیستم های با میرایی نامتناسب تعمیم داده شد [۲]. خواص مددی سیستم مرکب اولیه - ثانویه با خواص مددی هر یک از سیستم ها متفاوت می باشد؛ لذا، استفاده از روش های معمولی دینامیک سازه ها برای به دست آوردن خواص مددی سیستم مرکب دچار مشکلات ناپایداری عددی می شود. ساکمن و همکاران با استفاده از روش ریاضی پر توزیشن خواص مددی سیستم مرکب را به دست آورده اند [۳] و سپس پاسخ این سیستم ها را در برابر نیروهای پیشا محاسبه نمودند [۴].

برخی از سیستم های ثانویه، دارای چند تکیه گاه و یا چند درجه آزادی می باشند. اسفورا و درکیور گیان مفهوم طیف متقطع طبقه را در تحلیل چنین سیستم های ثانویه ای وارد نمودند [۵]. ایشان ابتدا تابع چگالی طیفی متقطع، تغییر مکان نسبی، تغییر مکان کل و شتاب-

تحلیل سیستم های ثانویه تحت اثر تک مؤلفه های زلزله تاکنون موضوع تحقیقات زیادی بوده است. تحلیل سیستم های اولیه تحت اثر مؤلفه های چندگانه زلزله نیز توسط محققین مختلف مورد بررسی قرار گرفته است. در این مقاله ابتدا با استفاده از روش ارتعاشات پیشا، سیستم های ثانویه ای که سیستم اولیه آنها تحت اثر مؤلفه های چندگانه زلزله قرار گرفته، تحلیل شده اند. در این تحلیل مؤلفه های زلزله به صورت همبسته در نظر گرفته شده اند و توابع چگالی طیفی و خود همبستگی پاسخ سیستم اولیه تحت اثر این مؤلفه ها به دست آمده است. سپس این توابع به عنوان ورودی سیستم ثانویه در نظر گرفته شده و توابع خود همبستگی، چگالی طیفی و میانگین مربعات پاسخ سیستم ثانویه محاسبه شده است. ورودی زلزله می تواند به صورت تابع چگالی طیفی یا طیف طرح زمین باشد. علاوه بر آن، با ملاحظه نمودن سازه اصلی به صورت قابهای ساختمانی سه بعدی با کف صلب و در نظر گرفتن دو مؤلفه افقی و یک مؤلفه قائم برای زلزله، زاویه بحرانی به دست آمده است. برای نشان دادن کارایی روش ارائه شده، چند قاب ساختمانی تحلیل شده، طیفهای پاسخ طبقات آنها به دست آمده و نتایج مورد بررسی قرار گرفته اند. نتایج حاصل از این بررسی نشان می دهد که در نظر گرفتن چند مؤلفه ای بودن زلزله و وارد کردن این مؤلفه ها در امتداد زاویه بحرانی طیف پاسخ طبقات را بیویژه در ساختمانهای بلند، خروج از محوریهای زیاد و هم فرکانسی، بسیار افزایش می دهد. کلید واژه ها: ارتعاشات پیشا، سیستم های ثانویه، مؤلفه های چندگانه همبسته زلزله، طیف پاسخ طبقه و زاویه بحرانی.

۲- مقدمه

سیستم های ثانویه سیستم هایی هستند که به یک سازه اصلی متصل

پیشنهاد نمودند و بر اساس آن زاویه بحرانی را به دست آوردنده [۱۵]. آشتیانی و سینگ زلزله را به صورت شش مؤلفه‌ای در نظر گرفته و با استفاده از روش ارتعاشات پیشا پاسخ سازه را به دست آوردنده [۱۳]. لوپز و تورس سازه را به صورت قابهای ساختمانی سه بعدی با کف صلب در نظر گرفتند که تحت اثر دو مؤلفه افقی زلزله قرار گرفته اند و پاسخ سازه را بر حسب زاویه برخورد این مؤلفه‌ها با امتدادهای اصلی سازه به دست آورده، سپس زاویه بحرانی و پاسخ حداکثر را محاسبه نمودند [۱۶]. هدف این مقاله به دست آوردن طیف پاسخ طبیقه تحت اثر مؤلفه‌های چندگانه زلزله می‌باشد؛ لذا، سیستم ثانویه به صورت یک سیستم یک-درجه آزاد در نظر گرفته شده است که به یک سازه اصلی متصل است. سازه اصلی تحت اثر مؤلفه‌های چندگانه زلزله قرار داده شده است. با استفاده از روش ارتعاشات پیشا تابع چگالی طیفی، خودهمبستگی و میانگین مربعات شتاب مطلق سیستم ثانویه به دست آمده است. ورودی زلزله می‌تواند تابع چگالی طیفی زمین (در این صورت تابع چگالی طیفی شتاب مطلق سیستم ثانویه به دست می‌آید) و یا طیف پاسخ زمین باشد (در این صورت طیف شتاب مطلق طبیقه به دست می‌آید). بعلاوه، در حالت خاصی که سازه اصلی به صورت قاب ساختمانی سه بعدی با کف صلب بوده و زلزله دارای دو مؤلفه افقی و یک مؤلفه قائم باشد، زاویه بحرانی و نیز طیف شتاب مطلق طبیقه تحت اثر زاویه بحرانی به دست آمده است. برای نشان دادن کارایی روش ارائه شده، چند مثال حل شده و ترتیج به دست آمده مورد بررسی قرار گرفته است.

۳- مبانی نظری و فرمولاسیون

در این قسمت ابتدا تاریخچه زمانی شتاب مطلق درجات آزادی سازه به دست می‌آید. سپس توابع خود همبستگی و چگالی طیفی آن محاسبه و از آن به عنوان ورودی سیستم ثانویه استفاده می‌گردد. آنگاه میانگین مربعات و در نهایت روابط لازم برای محاسبه طیف طبیقه و زاویه بحرانی ارائه می‌شود.

۳-۱- شتاب مطلق درجات آزادی

معادله حرکت یک سازه چند درجه آزاد تحت اثر شتابهای چندگانه زلزله عبارت است از:

$$[M] \{ \ddot{U} \} + [C] \{ \dot{y} \} + [K] \{ y \} = \{ 0 \} \quad (1)$$

در رابطه (۱)، $[M]$ ، $[C]$ و $[K]$ به ترتیب ماتریس‌های جرم، میرایی و سختی سازه، $\{ \ddot{U} \}$ بردار شتابهای مطلق درجات درجات آزادی سازه $\{ z \}$ به ترتیب بردار تغییرمکان و سرعت نسبی درجات آزادی سازه نسبت به زمین می‌باشند. تغییرمکانهای کل درجات آزادی بر حسب

مطلق طبقات را به دست آورده، سپس با انتگرال گیری از آنها میانگین مربعات این توابع را محاسبه نمودند و با ضرب میانگین مربعات در ضرایب اوج مربوطه طیف پاسخ متقاطع طبیقه را به دست آوردنده. علاوه بر آن، با مساوی فرض نمودن ضرایب اوج، طیف متقاطع طبیقه را مستقیماً بر حسب طیف طرح زمین به دست آوردنده. هرچند خواص مدلی که اسفورا و درکیورگیان برای محاسبه طیف متقاطع طبیقه استفاده کردند، خواص مدلی سیستم مرکبی بود که توسط ساکمن و همکاران [۳] به دست آمده بود، لیکن در محاسبه تابع چگالی طیفی، اندرکش دو سیستم حذف شده بود. بوردیسو و سینگ اثر اندرکش را وارد محاسبه طیف پاسخ سیستم‌های ثانویه با تکیه گاه چندگانه نمودند [۶].

دی و گوبتا تابع انتقال تغییرمکان سیستم ثانویه را براساس خواص مدلی سیستم‌های اولیه و ثانویه با تکیه گاه ثابت به دست آوردنده [۷]. ایشان در تعیین دیگری از تحقیق خود تکیه گاه سیستم اولیه را به صورت انعطاف‌پذیر در نظر گرفتند [۸]. اخیراً سوبر اساس مدل نمودار پاسخ فرکانسی شتاب سیستم ثانویه و نیروی به وجود آمده در تکیه گاه آن را به دست آورده است [۹]. همچنین برخلاف با استفاده از روش زیر سازه، سیستم مرکب شامل سازه اولیه، سیستم ثانویه و محیط خاک را تحلیل کرده، پاسخ سیستم ثانویه را در دامنه فرکانس به دست آورده است [۱۰].

در روشهای ارائه شده برای تحلیل سیستم‌های ثانویه، زلزله به صورت تک مؤلفه‌ای در نظر گرفته شده است. موضوعی که در سالهای اخیر ذهن محققین مهندسی زلزله را به خود مشغول ساخته است، چند مؤلفه‌ای بودن زلزله است. در روشهای معمولی، سازه‌ها با فرض تک مؤلفه‌ای بودن شتاب زلزله تحلیل می‌شوند؛ ولی واقعیت این است که زلزله دارای سه مؤلفه شتاب انتقالی و سه مؤلفه شتاب دورانی است و باید به طور همزمان تحت اثر این شش مؤلفه قرار گیرد و تحلیل شود [۱۱]. البته سه مؤلفه دورانی را می‌توان بر حسب مشتقات سه مؤلفه انتقالی و سرعت امواج برشی بیان کرد [۱۲] و [۱۳]. سه مؤلفه انتقالی شتاب زلزله در حالت کلی همبسته می‌باشند؛ ولی، می‌توان امتدادهایی را یافت که در آن امتدادها، مؤلفه‌های زلزله نابسته هستند [۱۴]. ویلسن و باتن با فرض اینکه طیف دو مؤلفه افقی زلزله با یکدیگر رابطه خطی دارند، روش ترکیب مربعی کامل را برای محاسبه پاسخ سازه در برابر هر یک از مؤلفه‌های زلزله

$$\ddot{v}_j = -\sum_{l=1}^3 \gamma_{jl} \ddot{x}'_{gl} - 2\xi_j \omega_j \dot{v}_j - \omega_j^2 v_j \quad (9)$$

رابطه (۹)، شتاب مختصات طبیعی زام را بر حسب تغییرمکان و سرعت مختصات طبیعی و شتاب زمین به دست می‌دهد که از آن برای محاسبه شتاب مطلق درجه آزادی استفاده می‌شود.

شتاب مطلق درجه آزادی m سازه اولیه برابر است با مجموع شتاب نسبی درجه آزادی m نسبت به زمین (\ddot{x}'_g) و شتاب زمین (۱۰) :

$$\ddot{U}_m = \ddot{y}_m + \sum_{l=1}^3 r_{ml} \ddot{x}'_{gl} \quad (10)$$

اگر در رابطه (۱۰) به جای \ddot{y}_m ، مشتق دوم رابطه (۵) قرار داده شود و سپس به جای \ddot{v} از رابطه (۹) جایگزین گردد، رابطه (۱۱) به دست می‌آید:

$$\ddot{U}_m = \sum_{j=1}^N \phi_{mj} \left(-\sum_{l=1}^3 \gamma_{jl} \ddot{x}'_{gl} - 2\xi_j \omega_j \dot{v}_j - \omega_j^2 v_j \right) + \sum_{l=1}^3 r_{ml} \ddot{x}'_{gl} \quad (11)$$

رابطه (۱۱) را به صورت رابطه (۱۲) نیز می‌توان نوشت:

$$\ddot{U}_m = \left[\sum_{l=1}^3 r_{ml} \ddot{x}'_{gl} - \sum_{j=1}^N \phi_{mj} \left(\sum_{l=1}^3 \gamma_{jl} \ddot{x}'_{gl} \right) \right] - \sum_{j=1}^N \phi_{mj} \left(2\xi_j \omega_j \dot{v}_j + \omega_j^2 v_j \right) \quad (12)$$

می‌توان نشان داد که کروشه سمت راست رابطه (۱۲) برابر صفر است؛ لذا این رابطه به صورت رابطه (۱۳) در می‌آید:

$$\ddot{U}_m = -\sum_{j=1}^N \phi_{mj} \left(2\xi_j \omega_j \dot{v}_j + \omega_j^2 v_j \right) \quad (13)$$

این رابطه شتاب مطلق درجه آزادی m را بر حسب سرعت و تغییرمکان مختصات طبیعی و خصوصیات دینامیکی سازه به دست می‌دهد. در این مقاله از این رابطه که در دامنه زمان است برای محاسبه توابع خود همبستگی و چگالی طیفی شتاب مطلق درجه آزادی m استفاده شده است. برای میرایی های کوچک، جمله حاوی تغییرمکان مختصات طبیعی بسیار بزرگتر از جمله حاوی سرعت مختصات طبیعی است؛ در

نتیجه، این فرمولاسیون روش مد تغییرمکان نامیده می‌شود.

۲-۳- توابع خود همبستگی و چگالی طیفی درجه آزادی
تابع خود همبستگی درجه آزادی m با استفاده از رابطه (۱۳)

به صورت رابطه (۱۴) نوشتہ می‌شود:

$$R_{\ddot{U}_m}(t_1 - t_2) = E[\ddot{U}_m(t_1) \ddot{U}_m(t_2)] = \sum_{j=1}^N \sum_{k=1}^N \phi_{mj} \phi_{mk} \left\{ \begin{aligned} & \omega_j^2 \omega_k^2 E[v_j(t_1) v_k(t_2)] + 2\xi_j \omega_j \omega_k^2 E[\dot{v}_j(t_1) v_k(t_2)] + \\ & 2\xi_k \omega_k \omega_j^2 E[v_j(t_1) \dot{v}_k(t_2)] + 4\xi_j \xi_k \omega_j \omega_k E[\dot{v}_j(t_1) \dot{v}_k(t_2)] \end{aligned} \right\}$$

تغییرمکانهای زمین با رابطه (۲) قابل بیان می‌باشند:

$$\{U\} = \{y\} + [r] \{x'_g\} \quad (2)$$

در رابطه (۲)، $\{U\}$ بردار تغییرمکانهای کل درجه آزادی، $\{x'_g\}$ بردار جا به جاییهای زمین در راستای امتدادهای اصلی سازه است که در حالت کلی به یکدیگر وابسته می‌باشند و $[r]$ یک ماتریس $N \times 6$ است که هر ستون آن بیانگر تأثیر هر یک از مؤلفه های زلزله روی درجه آزادی سازه می‌باشد (N تعداد درجه آزادی سازه است). در نتیجه، $[r]$ فرض شده است که زلزله دارای سه مؤلفه انتقالی است. در نتیجه، $[r]$ دارای سه ستون است که ستون اول تأثیر مؤلفه اول زلزله، ستون دوم تأثیر مؤلفه دوم زلزله و ستون سوم تأثیر مؤلفه سوم آن می‌باشند؛ بنابراین، به صورت رابطه (۳) نوشتہ می‌شود:

$$[r] = [\{r_1\} \quad \{r_2\} \quad \{r_3\}] \quad (3)$$

با جایگزینی رابطه (۲) در رابطه (۱)، معادله حرکت به صورت رابطه (۴) در می‌آید:

$$[M] \{\ddot{y}\} + [C] \{\dot{y}\} + [K] \{y\} = -[M] [r] \{x'_g\} \quad (4)$$

با استفاده از روش مدهای طبیعی، تغییرمکانهای نسبی بر حسب مختصات طبیعی به صورت رابطه (۵) بسط داده می‌شوند:

$$\{y\} = \sum_{j=1}^N \{\phi_j\} v_j \quad (5)$$

در رابطه (۵)، $\{\phi_j\}$ بردار شکل مذکور و v_j مختصات طبیعی زام می‌باشد. با فرض متناسب بودن میرایی سازه، رابطه (۴) به صورت رابطه (۶) در می‌آید:

$$\ddot{v}_j + 2\xi_j \omega_j \dot{v}_j + \omega_j^2 v_j = -\frac{\{\phi_j\}^T [M] [r]}{M_j} \{x'_g\} \quad (6)$$

سمت راست رابطه (۶) عبارت است از:

$$\frac{\{\phi_j\}^T [M] [r]}{M_j} \{x'_g\} = \sum_{l=1}^3 \gamma_{jl} \ddot{x}'_{gl} \quad (7)$$

در رابطه (۷)، γ_{jl} ضریب اشتراک مؤلفه l ام زلزله در مذکور سازه و \ddot{x}'_{gl} شتاب زلزله در جهت l است؛

$$\gamma_{jl} = \frac{\{\phi_j\}^T [M] \{r_l\}}{M_j} \quad (8)$$

بنابراین، رابطه (۶) به صورت رابطه (۸) نوشتہ می‌شود:

$$\ddot{v}_j + 2\xi_j \omega_j \dot{v}_j + \omega_j^2 v_j = -\sum_{l=1}^3 \gamma_{jl} \ddot{x}'_{gl} \quad (8)$$

رابطه مذکور را به صورت رابطه (۹) نیز می‌توان نوشت:

لذا، رابطه (۱۹) به صورت رابطه (۲۰) در می آید:

$$E[\ddot{x}'_{gl}(\tau_1)\ddot{x}'_{gn}(\tau_2)] = \sum_{p=1}^3 d_{lp} d_{np} E[\ddot{x}_{gp}(\tau_1)\ddot{x}_{gp}(\tau_2)] \quad (20)$$

با جایگذاری رابطه (۲۰) در رابطه (۱۶)، تابع خود همبستگی مختصات طبیعی بر حسب تابع خود همبستگی شتابهای زمین محاسبه می شود:

$$E[v_j(t_1)v_k(t_2)] = \sum_{l=1}^3 \sum_{n=1}^3 \sum_{p=1}^3 \gamma_{jl} \gamma_{kn} d_{lp} d_{np} \quad (21)$$

$$\int_o^{t_1} \int_o^{t_2} E[\ddot{x}_{gp}(\tau_1)\ddot{x}_{gp}(\tau_2)] h_j(t_1 - \tau_1) h_k(t_2 - \tau_2) d\tau_1 d\tau_2$$

تابع خود همبستگی شتابهای نابسته زمین که در رابطه (۲۱) وجود دارد را می توان بر حسب تابع چگالی طیفی آن نوشت:

$$E[\ddot{x}_{gp}(\tau_1)\ddot{x}_{gp}(\tau_2)] = \int_{-\infty}^{\infty} S_p(\omega) e^{i\omega(\tau_1 - \tau_2)} d\omega \quad (22)$$

در رابطه (۲۲)، $S_p(\omega)$ تابع چگالی طیفی شتاب زمین در امتداد اصلی زلزله p می باشد. با جایگزینی رابطه (۲۲) در رابطه (۲۱) تابع خود همبستگی مختصات طبیعی بر حسب تابع چگالی طیفی شتاب زمین به دست می آید:

$$E[v_j(t_1)v_k(t_2)] = \sum_{l=1}^3 \sum_{n=1}^3 \sum_{p=1}^3 \gamma_{jl} \gamma_{kn} d_{lp} d_{np} \quad (23)$$

$$\int_o^{t_1} \int_o^{t_2} \int_{-\infty}^{\infty} S_p(\omega) e^{i\omega(\tau_1 - \tau_2)} h_j(t_1 - \tau_1) h_k(t_2 - \tau_2) d\tau_1 d\tau_2 d\omega$$

با فرض مانا بودن فرایند، حدود انتگرال های اول و دوم رابطه (۲۳) را می توان به $-\infty$ تا $+\infty$ تغییر داد و با استفاده از رابطه بین تابع پاسخ ضربه واحد و پاسخ فرکانسی، رابطه (۲۳) به صورت رابطه (۲۴) در می آید:

$$E[v_j(t_1)v_k(t_2)] = \sum_{l=1}^3 \sum_{n=1}^3 \sum_{p=1}^3 \gamma_{jl} \gamma_{kn} d_{lp} d_{np} \quad (24)$$

$$\int_{-\infty}^{\infty} S_p(\omega) e^{i\omega(t_1 - t_2)} H_j H_k^* d\omega$$

در این رابطه، H_j و H_k^* به ترتیب تابع پاسخ فرکانسی و مزدوج آن می باشند. به این ترتیب یکی از توابع خود همبستگی موجود در رابطه (۱۴) به دست آمد. سایر توابع خود همبستگی با مشتق گیری از رابطه (۲۴) به صورت روابط (۲۵)، (۲۶) و (۲۷) به دست می آیند:

$$E[\dot{v}_j(t_1)v_k(t_2)] = \sum_{l=1}^3 \sum_{n=1}^3 \sum_{p=1}^3 \gamma_{jl} \gamma_{kn} d_{lp} d_{np} \quad (25)$$

$$\int_{-\infty}^{\infty} i\omega S_p(\omega) H_j H_k^* e^{i\omega(t_1 - t_2)} d\omega$$

(۱۴) در رابطه (۱۴)، [...] به معنی میانگین است؛ بنابراین، تابع خود همبستگی تابع پیشا درون [...] می باشد. تابع خود همبستگی موجود در سمت راست رابطه (۱۴) با استفاده از رابطه (۸) محاسبه می شود. حل معادله دیفرانسیل رابطه (۸) با استفاده از انتگرال دوهامل و تابع پاسخ ضربه واحد ($h(t)$) عبارت است از:

$$v_j(t_1) = - \sum_{l=1}^3 \gamma_{jl} \left[\int_o^{t_1} \ddot{x}'_{gl}(\tau_1) h_j(t_1 - \tau_1) d\tau_1 \right] \quad (15)$$

در نتیجه، اولین تابع خود همبستگی رابطه (۱۴) را به صورت رابطه (۱۶) می توان نوشت:

$$E[v_j(t_1)v_k(t_2)] = \sum_{l=1}^3 \sum_{n=1}^3 \gamma_{jl} \gamma_{kn} \int_o^{t_1} \int_o^{t_2} E[\ddot{x}'_{gl}(\tau_1)\ddot{x}'_{gn}(\tau_2)] h_j(t_1 - \tau_1) h_k(t_2 - \tau_2) d\tau_1 d\tau_2 \quad (16)$$

از رابطه (۱۶) مشاهده می شود که برای محاسبه میانگین پاسخ مختصات طبیعی لازم است ابتدا تابع خود همبستگی حرکات زمین محاسبه گردد. قبل از ذکر گردید که \ddot{x}'_{g2} و \ddot{x}'_{g3} شتابهای زمین در امتدادهای اصلی سازه هستند که در حالت کلی همبسته می باشند. پژوهی و اثابه [۱۴] نشان دادند که امتدادهایی وجود دارد که شتابهای زلزله در آن امتدادها مستقل از یکدیگرند و این امتدادها را امتدادهای اصلی زلزله نامیدند. رابطه بین شتابهای زلزله در امتدادهای سازه (\ddot{x}'_g) و شتابهای زلزله در امتدادهای اصلی آن (\ddot{x}_g) به وسیله ماتریس کسینوسهای هادی $[D]$ بیان می شود:

$$\{\ddot{x}'_g\} = [D] \{x_g\} \quad (17)$$

در این رابطه، $[D]$ ماتریس کسینوسهای هادی بین امتدادهای اصلی سازه و زلزله می باشد؛ بنابراین، شتاب زلزله در امتداد دلخواه از رابطه (۱۸) به دست می آید:

$$\ddot{x}'_{gl}(\tau_1) = \sum_{p=1}^3 d_{lp} \ddot{x}_{gp}(\tau_1) \quad (18)$$

تابع خود همبستگی شتابهای همبسته زمین (در امتدادهای اصلی سازه) بر حسب تابع خود همبستگی شتابهای نابسته زمین (در امتدادهای اصلی زلزله) نیز عبارت است از:

$$E[\ddot{x}'_{gl}(\tau_1)\ddot{x}'_{gn}(\tau_2)] = \sum_{p=1}^3 \sum_{q=1}^3 d_{lp} d_{nq} E[\ddot{x}_{gp}(\tau_1)\ddot{x}_{gq}(\tau_2)] \quad (19)$$

چون فرض شده است که شتابهای \ddot{x}_g نابسته هستند، در نتیجه در رابطه (۱۹) زمانی که $p \neq q$ باشد، $E[\ddot{x}_{gp}(\tau_1)\ddot{x}_{gq}(\tau_2)] = 0$ می شود؛

آزادی سازه، یک سیستم ثانویه یک درجه آزاد با فرکانس ω_o و میرایی ξ_o متصل شده باشد، میانگین مربعات شتاب مطلق این سیستم از رابطه (۳۱) به دست می‌آید:

$$E[\ddot{Z}^2] = \int_{-\infty}^{\infty} S_{\ddot{Z}}(\omega) d\omega \quad (31)$$

در رابطه (۳۱)، $S_{\ddot{Z}}(\omega)$ تابع چگالی طیفی شتاب مطلق سیستم ثانویه و برابر است با:

$$S_{\ddot{Z}}(\omega) = S_{\ddot{U}_m}(\omega) \left(4\xi_o^2 \omega_o^2 + \omega_o^4 \right) |H_o|^2 \quad (32)$$

در رابطه (۳۲)، H_o تابع پاسخ فرکانسی سیستم ثانویه است. با جایگزینی رابطه (۳۰) در رابطه (۳۲)، تابع چگالی طیفی شتاب مطلق سیستم ثانویه بر حسب تابع چگالی طیفی مؤلفه های شتاب زمین به دست می‌آید که با جایگزینی آن در رابطه (۳۱)، میانگین مربعات سیستم ثانویه خواهد شد:

$$E[\ddot{Z}^2] = \sum_{j=1}^N R_{jo}^2 + 2 \sum_{j=1}^{N-1} \sum_{k=j+1}^N R_{jko} \quad (33)$$

کمیتهای R_{jo}^2 و R_{jko} به ترتیب زیر به دست می‌آیند.

محاسبه R_{jo}^2

در رابطه (۳۳) برابر است با:

$$R_{jo}^2 = \phi_{mj}^2 \left[\sum_{l=1}^3 \sum_{n=1}^3 \sum_{p=1}^3 \gamma_{jl} \gamma_{jn} d_l p d_{np} \int_{-\infty}^{\infty} (\omega_j^4 + 4\xi_j^2 \omega_j^2 \omega^2) \right. \\ \left. (\omega_o^4 + 4\xi_o^2 \omega_o^2 \omega^2) |H_o|^2 |H_j|^2 \right] S_p(\omega) d\omega \quad (34)$$

انتگرال سمت راست رابطه (۳۴) به رابطه (۳۵) قابل تبدیل است:

$$\int_{-\infty}^{\infty} (\omega_j^4 + 4\xi_j^2 \omega_j^2 \omega^2) (\omega_o^4 + 4\xi_o^2 \omega_o^2 \omega^2) |H_o|^2 |H_j|^2 d\omega \quad (35)$$

$$S_p(\omega) d\omega = \int_{-\infty}^{\infty} \left[(A_{jo} \omega_o^4 + B_{jo} \omega_o^2 \omega^2) |H_o|^2 + (C_{jo} \omega_j^4 + D_{jo} \omega_j^2 \omega^2) |H_j|^2 \right] S_p(\omega) d\omega$$

در رابطه (۳۵) تا A_{jo} ضرایبی هستند که از حل دستگاه معادلات همざمانی به دست می‌آینند که در پیوست یک شرح داده شده است. با استفاده از روابط (۳۶) و (۳۷) به دست می‌آید:

$$I_{op}(\omega_j, \xi_j) \equiv \int_{-\infty}^{\infty} S_p(\omega) |H_j|^2 d\omega \quad (36)$$

$$I_{Ip}(\omega_j, \xi_j) \equiv \int_{-\infty}^{\infty} \omega^2 S_p(\omega) |H_j|^2 d\omega \quad (37)$$

که به ترتیب برابرند با میانگین مربعات تغییرمکان و سرعت نسبی

$$E[\dot{v}_j(t_1) \dot{v}_k(t_2)] = \sum_{l=1}^3 \sum_{n=1}^3 \sum_{p=1}^3 \gamma_{jl} \gamma_{kn} d_l p d_{np}$$

$$\int_{-\infty}^{\infty} (-i\omega) S_p(\omega) H_j H_k^* e^{i\omega(t_1-t_2)} d\omega \quad (27)$$

$$E[\dot{v}_j(t_1) \dot{v}_k(t_2)] = \sum_{l=1}^3 \sum_{n=1}^3 \sum_{p=1}^3 \gamma_{jl} \gamma_{kn} d_l p d_{np} \quad (27)$$

با جایگذاری روابط (۲۴) تا (۲۷) در رابطه (۱۴)، تابع خود همبستگی شتاب مطلق درجه آزادی m بر حسب تابع چگالی طیفی شتاب زمین در امتدادهای اصلی زلزله به دست می‌آید:

$$E[\ddot{U}_m(t_1) \ddot{U}_m(t_2)] = \sum_{l=1}^N \sum_{n=1}^N \phi_{mj} \phi_{mk} \left[\sum_{l=1}^3 \sum_{n=1}^3 \sum_{p=1}^3 \gamma_{jl} \gamma_{kn} d_l p \right]$$

$$d_{np} \times \int_{-\infty}^{\infty} (\omega_j^2 \omega_k^2 + 2i\omega_j \xi_j \omega_j \omega_k^2 - 2i\omega_j \xi_k \omega_k \omega_j^2 + 4\xi_j \xi_k \omega_j \omega_k \omega^2) \\ S_p(\omega) e^{i\omega(t_1-t_2)} H_j H_k^* d\omega \quad (28)$$

با توجه به رابطه بین تابع خود همبستگی و چگالی طیفی یک فرایند پیشا، تابع چگالی طیفی شتاب مطلق درجه آزادی m عبارت است از:

$$S_{\ddot{U}_m}(\omega) = \sum_{j=1}^N \sum_{k=1}^N \phi_{mj} \phi_{mk} \left[\sum_{l=1}^3 \sum_{n=1}^3 \sum_{p=1}^3 \gamma_{jl} \gamma_{kn} d_l p d_{np} \right. \\ \left. (\omega_j^2 \omega_k^2 + 2i\omega_j \xi_j \omega_j \omega_k^2 - 2i\omega_j \xi_k \omega_k \omega_j^2 + 4\xi_j \xi_k \omega_j \omega_k \omega^2) S_p(\omega) H_j H_k^* \right] \quad (29)$$

اگر در این رابطه جملات Σ از جملات $\Sigma\Sigma$ جدا شوند، پس از کمی محاسبات جبری رابطه (۳۰) به دست می‌آید:

$$S_{\ddot{U}_m}(\omega) = \sum_{j=1}^N \phi_{mj}^2 \left[\sum_{l=1}^3 \sum_{n=1}^3 \sum_{p=1}^3 \gamma_{jl} \gamma_{jn} d_l p d_{np} (\omega_j^4 + \xi_j^2 \omega_j^2 \omega^2) \right. \\ \left. S_p(\omega) |H_j|^2 \right] + 2 \sum_{j=1}^{N-1} \sum_{k=j+1}^N \phi_{mj} \phi_{mk} \left[\sum_{l=1}^3 \sum_{n=1}^3 \sum_{p=1}^3 \gamma_{jl} \gamma_{kn} d_l p d_{np} \right. \\ \left. (\omega_j^2 \omega_k^2 + 4\xi_j \xi_k \omega_j \omega_k \omega^2) \times [(\omega_j^2 - \omega^2)(\omega_k^2 - \omega^2) + 4\xi_j \xi_k \omega_j \omega_k \omega^2] \right. \\ \left. |H_j|^2 |H_k|^2 S_p(\omega) \right] \quad (30)$$

۳-۳- میانگین مربعات شتاب مطلق سیستم ثانویه

در قسمت قبل تابع چگالی طیفی شتاب مطلق درجه آزادی m تحت اثر مؤلفه های سه گانه همبسته شتاب زلزله به دست آمد. اگر به

متناسب است و "ضریب تناسب" ضریب اوج نامیده می‌شود. ضریب اوج تابعی از فرکانس و مدت تداوم فرایند است؛ ولی، با دقت خوبی می‌توان آن را ثابت گرفت [۱۷]؛ بنابراین طیف پاسخ شتاب مطلق درجه آزادی m از ضرب نمودن ضریب اوج در میانگین مربعات آن به دست می‌آید:

$$R_m^2(\omega_o, \xi_o) = C_o^2 E[\ddot{Z}^2] \quad (42)$$

در رابطه (۴۲)، C_o ضریب اوج شتاب مطلق سیستم ثانویه و $R_m(\omega_o, \xi_o)$ طیف پاسخ شتاب مطلق درجه آزادی m در فرکانس ω_o و میرایی ξ_o می‌باشد. طیف پاسخ زمین نیز از ضرب میانگین مربعات پاسخ سیستم یک درجه آزاد در ضریب اوج آن به دست می‌آید:

$$R_{dp}^2(\omega_j, \xi_j) = C_{dp}^2 I_{op}(\omega_j, \xi_j) \quad (43)$$

$$R_{vp}^2(\omega_j, \xi_j) = C_{vp}^2 I_{Ip}(\omega_j, \xi_j) \quad (44)$$

در روابط (۴۳) و (۴۴)، C_{dp} و C_{vp} به ترتیب ضرایب اوج تغییرمکان و سرعت در امتداد p و (ω_j, ξ_j) و $R_{dp}(\omega_j, \xi_j)$ به ترتیب طیفهای تغییرمکان و سرعت نسبی در فرکانس j و میرایی ξ_j در امتداد اصلی زلزله p می‌باشند. با فرض مساوی بودن ضرایب اوج، جایگذاری رابطه (۳۳) در رابطه (۴۲) و استفاده از روابط (۴۳) و (۴۴)، رابطه (۴۵) برای طیف پاسخ شتاب مطلق درجه آزادی m به دست می‌آید:

$$R_m^2(\omega_o, \xi_o) = \sum_{j=1}^N \phi_{mj}^2 \left\{ \sum_{l=1}^3 \sum_{n=1}^3 \sum_{p=1}^3 \gamma_{jl} \gamma_{jn} d_{lp} d_{np} [(A_{jo} + B_{jo}) \right.$$

$$R_{ap}^2(\omega_o, \xi_o) + (C_{jo} + D_{jo}) R_{ap}^2(\omega_j, \xi_j)] \} + 2 \sum_{j=1}^{N-1} \sum_{k=j+1}^N \phi_{mj}$$

$$\phi_{mk} \left\{ \sum_{l=1}^3 \sum_{n=1}^3 \sum_{p=1}^3 \gamma_{jl} \gamma_{kn} d_{lp} d_{np} [(A_{jko} + B_{jko}) R_{ap}^2(\omega_o, \xi_o) + \right.$$

$$(C_{jko} + D_{jko}) R_{ap}^2(\omega_j, \xi_j) + (E_{jko} + F_{jko}) R_{ap}^2(\omega_k, \xi_k)] \} \quad (45)$$

در این رابطه، $R_{ap}(\omega_j, \xi_j)$ طیف پاسخ شبه شتاب مطلق زمین در فرکانس j و میرایی ξ_j و در امتداد اصلی p می‌باشد. به این ترتیب با استفاده از رابطه (۴۵) می‌توان طیف طبقه m (درجه آزادی m) را زمانی که سازه تحت اثر شتابهای همبسته زمین قرار گرفته است به دست آورد.

۵-۳- حداقل طیف پاسخ طبقه و زاویه بحرانی

در این قسمت هدف، محاسبه امتداد یا زاویه بحرانی است که اگر

سیستم یک درجه آزاد با تابع پاسخ فرکانسی (H_j) که تحت اثر شتاب زمین با تابع چگالی طیفی $S_p(\omega)$ قرار گرفته و جایگزینی آنان در رابطه (۳۵) و سپس در رابطه (۳۶)، R_{jo}^2 برابر است با:

$$R_{jo}^2 = \Phi_{mj}^2 \left\{ \sum_{l=1}^3 \sum_{n=1}^3 \sum_{p=1}^3 \gamma_{jl} \gamma_{jn} d_{lp} d_{np} [A_{jo} \omega_o^4 I_{op}(\omega_o, \xi_o) + B_{jo} \omega_o^2 I_{Ip}(\omega_o, \xi_o) + C_{jo} \omega_j^4 I_{op}(\omega_j, \xi_j) + D_{jo} \omega_j^2 I_{Ip}(\omega_j, \xi_j)] \right\} \quad (38)$$

محاسبه R_{jko}

R_{jko} در رابطه (۳۳) برابر است با:

$$R_{jko} = \Phi_{mj} \Phi_{mk} \sum_{l=1}^3 \sum_{n=1}^3 \sum_{p=1}^3 \gamma_{jl} \gamma_{kn} d_{lp} d_{np} \int_{-\infty}^{\infty} (\omega_o^4 + 4\xi_o^2 \omega_o^2 \omega)^2 \\ \left\{ (\omega_j^2 \omega_k^2 + 4\xi_j \xi_k \omega_j \omega_k \omega^2) \right\} \left[(\omega_j^2 - \omega^2) (\omega_k^2 - \omega^2) + 4\xi_j \xi_k \omega_j \omega_k \omega^2 \right] + 4\omega_j \omega_k \omega^2 (\xi_j \omega_k - \xi_k \omega_j) (\xi_k \omega_k \omega_j^2 - \xi_k \omega_k \omega^2 - \xi_j \omega_j \omega_k^2 + \xi_j \omega_j \omega^2) \left| H_j \right|^2 |H_k|^2 |H_o|^2 S_p(\omega) d\omega \quad (39)$$

انتگرال سمت راست رابطه (۳۹) برابر است با:

$$= \int_{-\infty}^{\infty} \left[(A_{jko} \omega_o^4 + B_{jko} \omega_o^2 \omega^2) \right] |H_o|^2 + \left(C_{jko} \omega_j^4 + D_{jko} \omega_j^2 \omega^2 \right) \\ \left| H_j \right|^2 + \left(E_{jko} \omega_k^4 + F_{jko} \omega_k^2 \omega^2 \right) |H_k|^2 d\omega \quad (40)$$

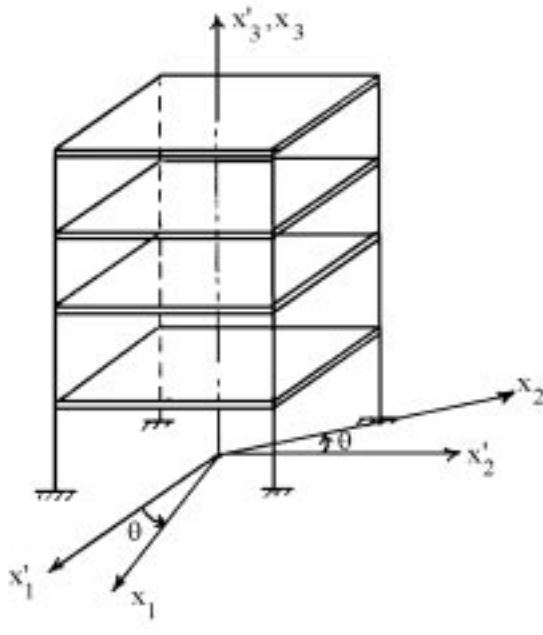
در رابطه (۴۰)، A_{jko} تا F_{jko} ضرایبی هستند که از حل دستگاه معادلات همزنمانی به دست می‌آیند که در پیوست دو ارائه شده است. با استفاده از روابط (۳۶) و (۳۷) و جایگذاری رابطه (۴) در رابطه (۳۹)، R_{jko} به صورت رابطه (۴۱) در می‌آید:

$$R_{jko} = \Phi_{mj} \Phi_{mk} \left\{ \sum_{l=1}^3 \sum_{n=1}^3 \sum_{p=1}^3 \gamma_{jl} \gamma_{kn} d_{lp} d_{np} [A_{jko} \omega_o^4 I_{op}(\omega_o, \xi_o) + B_{jko} \omega_o^2 I_{Ip}(\omega_o, \xi_o) + C_{jko} \omega_j^4 I_{op}(\omega_j, \xi_j) + D_{jko} \omega_j^2 I_{Ip}(\omega_j, \xi_j) + E_{jko} \omega_k^4 I_{op}(\omega_k, \xi_k) + F_{jko} \omega_k^2 I_{Ip}(\omega_k, \xi_k)] \right\} \quad (41)$$

بدین ترتیب با جایگذاری روابط (۳۸) و (۴۱) در رابطه (۳۳)، میانگین مربعات سیستم ثانویه بر حسب تابع چگالی طیفی شتابهای سه مؤلفه‌ای زمین به دست می‌آید.

۴- طیف پاسخ شتاب مطلق درجه آزادی m طیف پاسخ یک فرایند پیشا با میانگین مربعات آن فرایند

$$R_s = \sum_{j=1}^N \phi_{mj}^2 \left\{ \gamma_{j1}^2 \left[(A_{jo} + B_{jo}) S_{a2}^2 (\omega_o, \xi_o) + (C_{jo} + D_{jo}) S_{a2}^2 (\omega_j, \xi_j) \right] + \gamma_{j2}^2 \left[(A_{jo} + B_{jo}) S_{a1}^2 (\omega_o, \xi_o) + (C_{jo} + D_{jo}) S_{a1}^2 (\omega_j, \xi_j) \right] \right\} + 2 \sum_{j=1}^{N-1} \sum_{k=j+1}^N \phi_{mj} \phi_{mk} \left\{ \gamma_{j1} \gamma_{k1} \left[(A_{jko} + B_{jko}) S_{a2}^2 (\omega_o, \xi_o) + (C_{jko} + D_{jko}) S_{a2}^2 (\omega_j, \xi_j) + (E_{jko} + F_{jko}) S_{a2}^2 (\omega_k, \xi_k) \right] + \gamma_{j2} \gamma_{k2} \left[(A_{jko} + B_{jko}) S_{a1}^2 (\omega_o, \xi_o) + (C_{jko} + D_{jko}) S_{a1}^2 (\omega_j, \xi_j) + (E_{jko} + F_{jko}) S_{a1}^2 (\omega_k, \xi_k) \right] \right\}$$



شکل (۱): قابهای سه بعدی با کف صلب

$$R_{cs} = \sum_{j=1}^N 2\phi_{mj}^2 \times \gamma_{j1} \gamma_{j2} \left\{ \left[(A_{jo} + B_{jo}) S_{a2}^2 (\omega_o, \xi_o) + (C_{jo} + D_{jo}) S_{a2}^2 (\omega_j, \xi_j) \right] - \left[(A_{jo} + B_{jo}) S_{a1}^2 (\omega_o, \xi_o) + (C_{jo} + D_{jo}) S_{a1}^2 (\omega_j, \xi_j) \right] \right\} + 2 \sum_{j=1}^{N-1} \sum_{k=j+1}^N \phi_{mj} \phi_{mk} \left(\gamma_{j1} \gamma_{k2} + \gamma_{j2} \gamma_{k1} \right) \left[\left((A_{jko} + B_{jko}) S_{a2}^2 (\omega_o, \xi_o) + (C_{jko} + D_{jko}) S_{a2}^2 (\omega_j, \xi_j) + (E_{jko} + F_{jko}) S_{a2}^2 (\omega_k, \xi_k) \right) - \left((A_{jko} + B_{jko}) S_{a1}^2 (\omega_o, \xi_o) + (C_{jko} + D_{jko}) S_{a1}^2 (\omega_j, \xi_j) + (E_{jko} + F_{jko}) S_{a1}^2 (\omega_k, \xi_k) \right) \right] \quad (۵۱)$$

ابتدا اگر درجات آزادی سازه فقط در جهت افقی و پیچشی در نظر گرفته شوند، مقدار R_o برابر صفر می‌شود؛ بنابراین، شتاب زلزله در امتداد قائم تأثیری در پاسخ سیستم ثانویه نخواهد گذاشت.

برای بهینه کردن R_m باید از رابطه (۴۷) نسبت به θ مشتق گرفت

مولفه‌های زلزله در آن امتداد به سازه اثر نماید، طیف پاسخ طبقه حداقل شود. برای این منظور برای سهولت و بدون از دست دادن کاربرد و جامعیت، فرض می‌شود که زلزله دارای دو مولفه افقی و یک مولفه قائم است و سازه مورد نظر هم به صورت قابهای ساختمانی سه بعدی با کف صلب می‌باشدند (شکل ۱). هرچند که حالتهای کلی تری نیز قابل بررسی می‌باشند؛ لیکن چون این مورد کاربردی تر است، در این مقاله همین مقدار بسته می‌شود. با این فرض ماتریس کسینوسهای هادی (۵۰) ورت رابطه (۴۶) می‌باشد:

$$[D] = \begin{bmatrix} \cos\theta & \sin\theta & 0 \\ -\sin\theta & \cos\theta & 0 \\ 0 & 0 & 1 \end{bmatrix} \quad (۴۶)$$

در رابطه (۴۶)، θ زاویه بین امتدادهای اصلی زلزله و سازه می‌باشد.

با جایگزینی رابطه (۶) در رابطه (۴۵) و ساده کردن آن، طیف پاسخ طبقه به صورت رابطه (۴۷) به دست می‌آید:

$$R_m^2 (\omega_o, \xi_o, \theta) = R_o + R_c \cos^2 \theta + R_s \sin^2 \theta + R_{cs} \sin \theta \cos \theta \quad (۴۷)$$

در رابطه (۴۷)، R_{cs} و R_s و R_c و R_o عبارتند از:

$$R_o = \sum_{j=1}^N \phi_{mj}^2 \gamma_{j3}^2 \left[(A_{jo} + B_{jo}) S_{a3}^2 (\omega_o, \xi_o) + (C_{jo} + D_{jo}) S_{a3}^2 (\omega_j, \xi_j) \right] + 2 \sum_{j=1}^{N-1} \sum_{k=j+1}^N \phi_{mj} \phi_{mk} \gamma_{j3} \gamma_{k3} \left[(A_{jko} + B_{jko}) S_{a3}^2 (\omega_o, \xi_o) + (C_{jko} + D_{jko}) S_{a3}^2 (\omega_j, \xi_j) + (E_{jko} + F_{jko}) S_{a3}^2 (\omega_k, \xi_k) \right] \quad (۴۸)$$

$$R_c = \sum_{j=1}^N \phi_{mj}^2 \left\{ \gamma_{j1}^2 \left[(A_{jo} + B_{jo}) S_{a1}^2 (\omega_o, \xi_o) + (C_{jo} + D_{jo}) S_{a1}^2 (\omega_j, \xi_j) \right] + \gamma_{j2}^2 \left[(A_{jo} + B_{jo}) S_{a2}^2 (\omega_o, \xi_o) + (C_{jo} + D_{jo}) S_{a2}^2 (\omega_j, \xi_j) \right] \right\} + 2 \sum_{j=1}^{N-1} \sum_{k=j+1}^N \phi_{mj} \phi_{mk} \left\{ \gamma_{j1} \gamma_{k1} \left[(A_{jko} + B_{jko}) S_{a1}^2 (\omega_o, \xi_o) + (C_{jko} + D_{jko}) S_{a1}^2 (\omega_j, \xi_j) + (E_{jko} + F_{jko}) S_{a1}^2 (\omega_k, \xi_k) \right] + \gamma_{j2} \gamma_{k2} \left[(A_{jko} + B_{jko}) S_{a2}^2 (\omega_o, \xi_o) + (C_{jko} + D_{jko}) S_{a2}^2 (\omega_j, \xi_j) + (E_{jko} + F_{jko}) S_{a2}^2 (\omega_k, \xi_k) \right] \right\} \quad (۴۹)$$

طیف پاسخ طبیه برای چند قاب ساختمانی محاسبه و نتایج حاصل مورد بررسی قرار گرفته است.

طبیهای ورودی، میانگین طبیهای پاسخ بیست نگاشت از شتابنگاشتهای زلزله های واقعی ایران است که اطلاعات این نگاشتها در جدول (۱) آورده شده است. هر یک از نگاشتهای مورد استفاده دارای دو مؤلفه افقی و یک مؤلفه قائم است. از دو مؤلفه افقی، مؤلفه ای که حداکثر شتاب بزرگتری دارد به عنوان مؤلفه بزرگتر و آن مؤلفه ای که حداکثر شتاب کمتری دارد به عنوان مؤلفه کوچکتر در نظر گرفته شده است. کلیه مؤلفه های بزرگ هر بیست نگاشت نسبت به شتاب حداکثر هر کدام

و مساوی صفر قرار داد؛ بنابراین، زاویه بحرانی از رابطه (۵۲) به دست می آید:

$$\tan 2\theta_{cr} = \frac{R_{cs}}{R_c - R_s} \quad (52)$$

از این رابطه دو مقدار برای θ_{cr} به دست می آید که یکی از آنها مربوط به R_m حداکثر و دیگری مربوط به R_m حداقل می باشد. پس از مشخص شدن θ_{cr} ، مقدار آن در رابطه (۴۷) جایگزین شده و حداقل و حداکثر مقدار R_m به دست می آید. نکته قابل ذکر این است که زاویه بحرانی به فرکانس و میرایی سیستم ثانویه بستگی دارد.

۴- محاسبات عددی و نتایج

برای نشان دادن رفتار سیستم های ثانویه و کارایی روش ارائه شده،

جدول (۱): اطلاعات نگاشتهای مورد استفاده

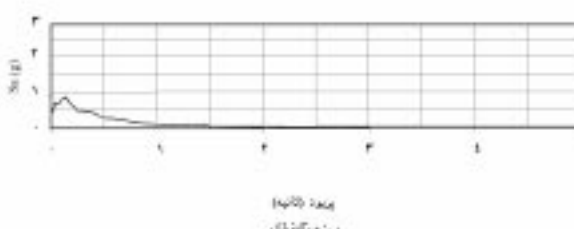
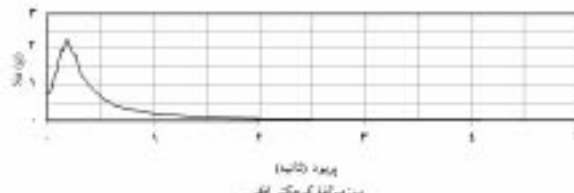
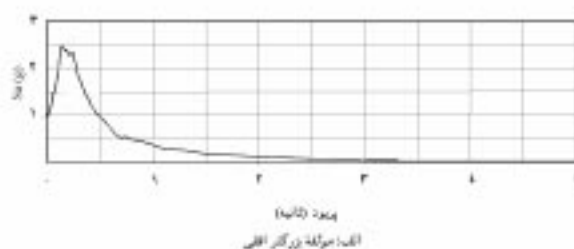
رومن لرزه زمین	ایستگاه	تاریخ	دوره (ثانیه)	مولفه افقی بزرگ	مولفه افقی کوچک	مولفه قائم	نسبت بیشینه شتاب زمین (سانتیمتر بر مجدوثر ثانیه)	مولفه بزرگ	مولفه کوچک
سرخون	بندرعباس	۱۹۷۵/۳/۷	۴۵/۳۵	۰/۶۷۱	۴۱/۴۹	۸۶/۲۴	۱۲۸/۴۳	۰/۳۲۳	۰/۶۷۱
سرخون	میتاب	۱۹۷۵/۳/۷	۲۸/۴۸	۰/۹۱۵	۱۰/۴۵	۲۲/۱۸	۲۴/۲۵	۰/۴۳۱	۰/۹۱۵
سرخون	قسم	۱۹۷۵/۳/۷	۳۸/۹۴	۰/۹۱۰	۱۴/۳۱	۱۴/۵۲	۱۵/۹۵	۰/۸۹۷	۰/۹۱۰
چالدران	ماکو	۱۹۷۶/۱۱/۲۴	۲۸/۰۹	۰/۷۵۰	۴۶/۸۰	۶۶/۸۰	۸۹/۰۹	۰/۵۲۵	۰/۷۵۰
چالدران	وندیک	۱۹۷۶/۱۱/۲۴	۱۵/۶۲	۰/۵۳۲	۲۲/۱۴	۳۹/۶۹	۷۶/۶۳	۰/۲۹۷	۰/۵۳۲
وندیک	وندیک	۱۹۷۶/۱۱/۷	۹/۷۸	۰/۹۷۴	۱۳/۳۰	۴۹۷/۲۱	۵۱/۶۴	۰/۰۲۶	۰/۹۷۴
وندیک	دیهوک	۱۹۷۶/۱۱/۷	۸/۷۰	۰/۹۸۶	۸۸/۱۳	۱۷۹/۴۲	۱۸۲/۰۳	۰/۴۸۴	۰/۹۸۶
طبس	طبس	۱۹۷۸/۹/۱۶	۵۸/۴۰	۰/۵۸۴	۱۵۷/۲۶	۲۲۷/۲۳	۳۸۹/۰۲	۰/۴۰۴	۰/۵۸۴
طبس	طبس	۱۹۷۸/۹/۱۶	۴۹/۰۰	۰/۸۸۱	۷۲۵/۱۱	۸۹/۰/۲۳	۱۰۱/۰۵۹	۰/۷۱۸	۰/۸۸۱
طبس	بجستان	۱۹۷۸/۹/۱۶	۳۹/۶۲	۰/۷۴۶	۱۷/۹۳	۵۸/۳۹	۷۸/۲۶	۰/۲۲۹	۰/۷۴۶
کولی بنياباد	پير جند	۱۹۷۹/۱۱/۲۷	۴۱/۴۱	۰/۸۸۳	۱۹/۱۹	۲۸/۱۱	۳۱/۸۲	۰/۶۰۳	۰/۸۸۳
کولی بنياباد	سده	۱۹۷۹/۱۱/۲۷	۴۹/۵۰	۰/۸۷۱	۳۷/۲۱	۷۴/۰/۴	۸۵/۰/۵	۰/۴۳۸	۰/۸۷۱
کولی بنياباد	قائين	۱۹۷۹/۱۱/۲۷	۴۰/۲۱	۰/۶۸۳	۱۱۸/۶۸	۱۲۶/۸۰	۱۹۷/۲۲	۰/۶۰۴	۰/۶۸۳
کولی بنياباد	خواف	۱۹۷۹/۱۱/۲۷	۵۸/۰/۵	۰/۶۷۷	۳۰/۴۸	۲۵/۱۱	۳۷/۱۰	۰/۸۲۱	۰/۶۷۷
منجیل	قریون	۱۹۹۰/۶/۲۰	۶۰/۴۳	۰/۸۴۷	۳۵/۱۸	۲۰/۹۷	۲۴/۴۰	۱/۴۴۲	۰/۸۴۷
منجیل	تنکابن	۱۹۹۰/۶/۲۰	۳۵/۹۸	۰/۷۲۹	۲۹/۷۹	۷۵/۳۸	۱۰۳/۴۱	۰/۲۸۸	۰/۷۲۹

۰/۳۶۵	۰/۸۲۵	۱۷۸/۲۴	۴۰۲/۰۳	۴۸۸/۸۰	۱۱/۰۲	۱۹۹۰/۶/۲۰	منجیل	منجیل
۰/۴۰۷	۰/۸۵۲	۷۸/۲۲	۱۶۲/۸۷	۱۹۲/۳۸	۹/۵۸	۱۹۹۰/۷/۶	منجیل	منجیل
۰/۳۱۰	۰/۵۴۳	۳۶/۵۰	۶۴/۰۱	۱۱۷/۸۰	۲۸/۱۶	۱۹۹۶/۱/۲۴	شبانکاره	شبانکاره
۰/۵۰۶	۰/۸۷۲	۱۰/۷۵	۱۵/۰۱	۲۱/۲۳	۲۳/۰۴	۱۹۹۶/۱/۲۴	شبانکاره	شبانکاره

انواع سازه ها می تواند مورد استفاده قرار گیرد؛ ولی، در مثالهای حل شده فقط ساختمانهای پیچشی با درجات آزادی افقی و پیچشی در نظر گرفته شده است؛ لذا، برای این کونه ساختمانها، طیف مؤلفه قائم علاوه بر داده شده ندارد. به عنوان مثال، قابهای سه، پنج، هفت و ده طبقه در نظر گرفته شده است. این قابها برای خروج از محوریهای $0/05, 0/10, 0/15$ و $0/20$ تحلیل شده است. خروج از محوری در هر دو جهت مساوی در نظر گرفته شده است. برای به وجود آوردن خروج از محوری، سختی ستونهای ثابت فرض شده و مرکز جرم طبقات تغییر داده شده اند. فرکانس های قاب سه طبقه در جدول (۲)، قاب پنج طبقه در جدول (۳)، قاب هفت طبقه در جدول (۴) و قاب ده طبقه در جدول (۵) آورده شده اند. لازم به ذکر است که چون کف طبقات به صورت مریع در نظر گرفته شده، سختی ستونهای قاب مساوی می باشد و خروج از محوری جرم طبقات در هر دو جهت مساوی است؛ در نتیجه، سازه نسبت به یک قطر کف طبقات تقارن دارد و چون یکی از مدهای ارتعاشی قاب در جهت قطر آن است، بنابراین افزایش خروج از محوری فرکانس آن مدد را تغییر نمی دهد.

نسبت میراییهای سازه و سیستم ثانویه برابر پنج درصد در نظر گرفته شده است. این قابها در دو حالت تحلیل شده اند. در حالت اول هر دو طیف افقی (شکل های ۲، الف و ب) به قاب وارد شده و زاویه ای که تحت آن طیف پاسخ طبقه حداکثر می شود (زاویه بحرانی) به دست آمد و تحت اثر این زاویه طیف پاسخ طبقه محاسبه شده است. در حالت دوم طیف بزرگتر (شکل ۲، الف) در جهت $\theta = 0$ و طیف کوچکتر (شکل ۲، ب) در جهت $\theta = 90^\circ$ به قاب وارد شده و طیف

از آنها به مقیاس در آمده، طیف پاسخ آنها با روش جینینگر محاسبه گردیده و میانگین آنها به دست آمده که طیف حاصل در شکل (۲، الف) نشان داده شده است. برای محاسبه طیف پاسخ مؤلفه های کوچکتر، ابتدا شتابهای این مؤلفه ها در ضربی نسبت حداقل شتاب مؤلفه کوچکتر به حداقل شتاب مؤلفه بزرگتر ضرب شده، سپس طیف پاسخ محاسبه و میانگین آنها به دست آمده که نتیجه در شکل (۲، ب) نشان داده شده است. برای مؤلفه قائم نیز مثل مؤلفه کوچکتر افقی عمل گردیده و طیف به دست آمده در شکل (۲، ب) نشان داده شده است.



شکل (۲): میانگین طیف زیله های مورد استفاده

لازم به ذکر است که فرمولاسیون به دست آمده کلی است و برای

جدول (۴): فرکانس های قاب سه طبقه (رادیان بر ثانیه)

e=0.20	e=0.15	e=0.10	e=0.05	e=0	مدد
۱۸/۳۹	۱۹/۱۳	۱۹/۷۵	۲۰/۱۶	۲۰/۳۱	۱
۲۰/۳۱	۲۰/۳۱	۲۰/۳۱	۲۰/۳۱	۲۰/۳۱	۲
۳۸/۸۶	۳۷/۳۶	۳۶/۲۰	۳۵/۴۴	۳۵/۱۸	۳

۵۱/۵۳	۵۳/۶۰	۵۵/۳۲	۵۶/۵۰	۵۶/۹۲	۴
۵۶/۹۲	۵۶/۹۲	۵۶/۹۲	۵۶/۹۲	۵۶/۹۲	۵
۷۴/۴۶	۷۷/۴۵	۷۹/۹۵	۸۱/۶۴	۸۲/۲۵	۶
۸۲/۲۵	۸۲/۲۵	۸۲/۲۵	۸۲/۲۵	۸۲/۲۵	۷
۱۰۸/۸۹	۱۰۴/۶۹	۱۰۱/۴۲	۹۹/۳۱	۹۸/۵۸	۸
۱۵۷/۳۶	۱۵۱/۲۸	۱۴۶/۵۶	۱۴۳/۵۱	۱۴۲/۴۶	۹

جدول (۳): فرکانس های قاب پنج طبقه (رادیان بر ثانیه)

e=0.20	e=0.15	e=0.10	e=0.05	e=0	مد
۱۱/۷۶	۱۲/۲۳	۱۲/۶۳	۱۲/۹۰	۱۲/۹۹	۱
۱۲/۹۹	۱۲/۹۹	۱۲/۹۹	۱۲/۹۹	۱۲/۹۹	۲
۲۴/۸۶	۲۳/۹۰	۲۳/۱۵	۲۲/۶۷	۲۲/۵۰	۳
۳۴/۳۳	۳۵/۷۱	۳۶/۸۶	۳۷/۶۴	۳۷/۹۲	۴
۳۷/۹۲	۳۷/۹۲	۳۷/۹۲	۳۷/۹۲	۳۷/۹۲	۵
۵۶/۱۲	۵۶/۲۹	۵۸/۱۱	۵۹/۳۴	۵۹/۷۸	۶
۵۹/۷۸	۵۹/۷۸	۵۹/۷۸	۵۹/۷۸	۵۹/۷۸	۷
۶۹/۵۲	۶۹/۷۵	۶۷/۵۷	۶۶/۱۷	۶۵/۶۸	۸
۷۲/۵۵	۷۲/۳۱	۷۴/۶۵	۷۶/۲۳	۷۶/۸۰	۹
۷۶/۸۰	۷۶/۸۰	۷۶/۸۰	۷۶/۸۰	۷۶/۸۰	۱۰
۷۹/۳۰	۸۲/۴۸	۸۵/۱۴	۸۶/۹۴	۸۷/۰۹	۱۱
۸۷/۰۹	۸۷/۰۹	۸۷/۰۹	۸۷/۰۹	۸۷/۰۹	۱۲
۱۱۴/۳۷	۱۰۹/۹۱	۱۰۶/۵۲	۱۰۴/۳۱	۱۰۳/۰۴	۱۳
۱۴۶/۹۳	۱۴۱/۲۶	۱۳۶/۸۴	۱۳۴/۰۰	۱۳۳/۰۱	۱۴
۱۶۷/۵۸	۱۶۱/۱۱	۱۵۶/۰۸	۱۵۲/۸۴	۱۵۱/۷۱	۱۵

جدول (۴): فرکانس های قاب هفت طبقه (رادیان بر ثانیه)

e=0.20	e=0.15	e=0.10	e=0.05	e=0	مد
۸/۰۸	۸/۴۱	۸/۶۸	۸/۸۶	۸/۹۳	۱
۸/۹۳	۸/۹۳	۸/۹۳	۸/۹۳	۸/۹۳	۲
۱۷/۰۸	۱۶/۴۲	۱۵/۹۰	۱۵/۵۷	۱۵/۴۶	۳
۲۳/۸۹	۲۴/۸۰	۲۵/۶۰	۲۶/۱۹	۲۶/۳۹	۴
۲۶/۳۹	۲۶/۳۹	۲۶/۳۹	۲۶/۳۹	۲۶/۳۹	۵
۳۸/۶۵	۴۰/۲۰	۴۱/۵۰	۴۲/۳۸	۴۲/۷۰	۶
۴۲/۷۰	۴۲/۷۰	۴۲/۷۰	۴۲/۷۰	۴۲/۷۰	۷
۵۰/۴۸	۴۸/۵۴	۴۷/۰۲	۴۶/۰۴	۴۵/۷۰	۸
۵۱/۷۳	۵۳/۸۰	۵۵/۵۴	۵۶/۷۲	۵۷/۱۴	۹
۵۷/۱۴	۵۷/۱۴	۵۷/۱۴	۵۷/۱۴	۵۷/۱۴	۱۰
۶۲/۵۴	۶۵/۰۵	۶۷/۱۵	۶۸/۵۷	۶۹/۰۸	۱۱
۶۹/۰۸	۶۹/۰۸	۶۹/۰۸	۶۹/۰۸	۶۹/۰۸	۱۲
۷۰/۶۲	۷۳/۴۶	۷۵/۸۳	۷۴/۰۵	۷۳/۹۰	۱۳
۷۵/۶۲	۷۵/۹۳	۷۶/۰۸	۷۷/۴۳	۷۸/۰۱	۱۴

۷۸/۰۱	۷۸/۰۱	۷۸/۰۱	۷۸/۰۱	۷۸/۰۱	۱۵
۸۱/۶۹	۷۸/۶۰	۸۱/۱۹	۸۲/۹۱	۸۳/۵۳	۱۶
۸۳/۵۳	۸۳/۰۳	۸۳/۰۳	۸۳/۵۳	۸۳/۰۳	۱۷
۱۰۹/۳۲	۱۰۵/۱۰	۱۰۱/۸۱	۹۹/۷۰	۹۸/۹۷	۱۸
۱۲۲/۱۷	۱۲۷/۰۷	۱۲۳/۱۰	۱۲۰/۵۴	۱۱۹/۶۶	۱۹
۱۴۹/۲۵	۱۴۳/۴۹	۱۳۹/۰۰	۱۳۶/۱۲	۱۳۵/۱۲	۲۰
۱۰۹/۸۰	۱۵۳/۶۳	۱۴۸/۸۳	۱۴۵/۷۴	۱۴۴/۶۷	۲۱

جدول (۵): فرکانس های قاب ده طبقه (رادیان بر ثانیه)

e=0.20	e=0.15	e=0.10	e=0.05	e=0	مد
۵/۷۸	۶/۰۱	۶/۲۰	۶/۲۳	۶/۳۸	۱
۶/۳۸	۶/۳۸	۶/۳۸	۶/۳۸	۶/۳۸	۲
۱۲/۲۱	۱۱/۷۴	۱۱/۳۷	۱۱/۱۳	۱۱/۰۵	۳
۱۷/۲۰	۱۷/۸۹	۱۸/۴۷	۱۸/۸۶	۱۹/۰۰	۴
۱۹/۰۰	۱۹/۰۰	۱۹/۰۰	۱۹/۰۰	۱۹/۰۰	۵
۲۸/۲۴	۲۹/۳۸	۳۰/۳۲	۳۰/۹۷	۳۱/۲۰	۶
۳۱/۲۰	۳۱/۲۰	۳۱/۲۰	۳۱/۲۰	۳۱/۲۰	۷
۳۶/۳۵	۳۴/۹۰	۳۳/۸۶	۳۳/۱۶	۳۲/۹۱	۸
۳۸/۶۵	۴۰/۲۰	۴۱/۰۰	۴۲/۳۸	۴۲/۷۰	۹
۴۲/۷۰	۴۲/۷۰	۴۲/۷۰	۴۲/۷۰	۴۲/۷۰	۱۰
۴۸/۲۰	۵۰/۱۳	۵۱/۷۵	۵۲/۸۰	۵۳/۲۴	۱۱
۵۳/۲۴	۵۳/۲۴	۵۳/۲۴	۵۳/۲۴	۵۳/۲۴	۱۲
۵۶/۶۷	۵۷/۳۸	۵۵/۰۹	۵۴/۴۴	۵۴/۰۳	۱۳
۵۹/۶۹	۵۸/۹۴	۶۰/۸۰	۶۲/۱۴	۶۲/۶۰	۱۴
۶۲/۶۰	۶۲/۶۰	۶۲/۶۰	۶۲/۶۰	۶۲/۶۰	۱۵
۶۳/۸۷	۶۶/۴۴	۶۸/۰۸	۷۰/۰۳	۷۰/۰۰	۱۶
۶۹/۶۵	۷۰/۰۰	۷۰/۷۵	۷۰/۰۰	۷۰/۰۰	۱۷
۷۰/۰۵	۷۲/۴۰	۷۴/۷۸	۷۴/۰۰	۷۳/۰۰	۱۸
۷۳/۸۷	۷۶/۸۴	۷۶/۰۸	۷۶/۳۷	۷۶/۹۳	۱۹
۷۶/۴۴	۷۶/۹۳	۷۶/۹۳	۷۶/۹۳	۷۶/۹۳	۲۰
۷۶/۹۳	۷۸/۰۳	۷۹/۳۱	۸۱/۰۰	۸۱/۶۰	۲۱
۸۱/۶۰	۷۹/۰۱	۸۱/۶۰	۸۱/۶۰	۸۱/۶۰	۲۲
۸۱/۶۹	۸۱/۶۰	۸۲/۰۸	۸۳/۸۲	۸۴/۴۴	۲۳
۸۴/۴۴	۸۴/۴۴	۸۴/۴۴	۸۴/۴۴	۸۴/۴۴	۲۴
۱۰۹/۸۶	۹۷/۹۳	۹۴/۸۷	۹۲/۹۰	۹۲/۲۲	۲۵
۱۱۹/۷۶	۱۱۵/۱۴	۱۱۱/۰۴	۱۰۹/۲۲	۱۰۸/۴۲	۲۶
۱۳۴/۹۸	۱۲۹/۷۷	۱۲۵/۷۲	۱۲۳/۱۱	۱۲۲/۲۰	۲۷
۱۴۷/۱۹	۱۴۱/۰۱	۱۳۷/۰۹	۱۳۴/۲۴	۱۳۳/۲۶	۲۸

۱۵۶/۱۱	۱۵۰/۰۹	۱۴۵/۴۰	۱۴۲/۳۸	۱۴۱/۳۳	۲۹
۱۶۱/۵۵	۱۵۵/۳۱	۱۵۰/۴۶	۱۴۷/۳۴	۱۴۶/۲۵	۳۰

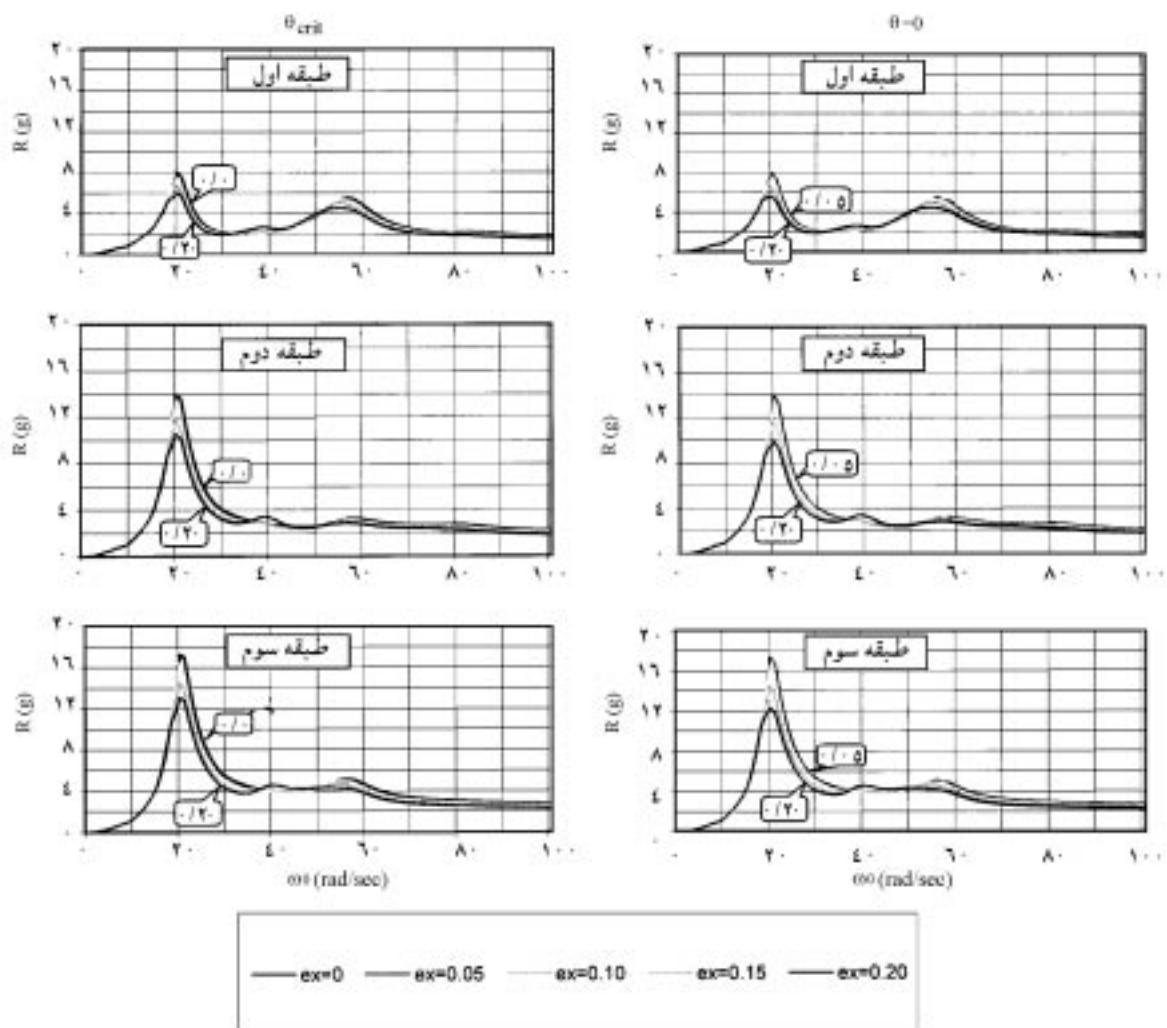
طیف طبقه در اینجا طیف جانبی طبقه است و نه طیف پیچشی طبقه).

۳- در قاب سه طبقه، بزرگترین میزان بزرگنمایی در هر سه طبقه

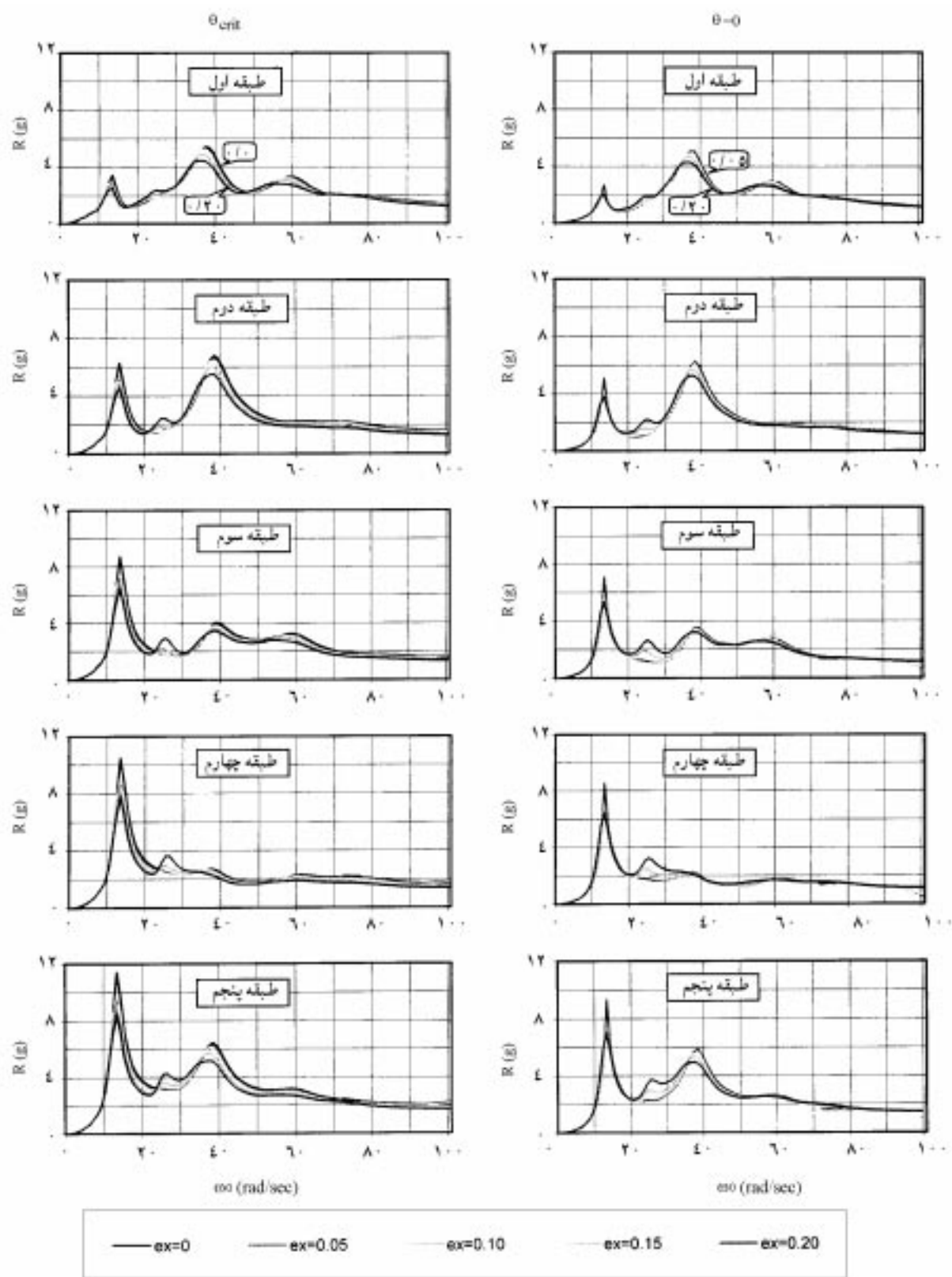
در مد جانبی اول اتفاق می‌افتد. در قاب پنج طبقه بزرگترین میزان بزرگنمایی در طبقات اول و دوم در مد جانبی دوم و در طبقات سوم تا پنجم در مد جانبی اول اتفاق می‌افتد. در قاب هفت طبقه بزرگترین میزان بزرگنمایی در طبقات اول، دوم، سوم و هفتم در مد جانبی دوم و در طبقات چهارم تا ششم در مد جانبی اول اتفاق می‌افتد. در قاب ده طبقه بزرگترین میزان بزرگنمایی در طبقات اول و هفتم در مد جانبی سوم، در طبقات دوم، سوم، چهارم، پنجم و دهم در مد جانبی دوم و در طبقه هشتم در مد جانبی اول اتفاق می‌افتد؛ بنابراین، می‌توان تیجه گرفت که در طبقات بالاتر مدهای جانبی پایین تر اهمیت دارند؛ ولی در طبقات پایین تر مدهای جانبی بالاتر نیز اهمیت می‌یابند.

پاسخ طبقه به دست آمده است. نتایج به دست آمده برای قاب سه طبقه در شکل (۳)، قاب پنج طبقه در شکل (۴)، قاب هفت طبقه در شکل (۵) و قاب ده طبقه در شکل (۶) نشان داده شده است. همچنین برای مقایسه بهتر، مقادیر حداقل طیف طبقات که در حالت هم فرکانسی اتفاق می‌افتد، در این دو حالت به دست آمده و به ترتیب برای قاب سه طبقه در جدول (۶)، قاب پنج طبقه در جدول (۷)، قاب هفت طبقه در جدول (۸) و قاب ۱۰ طبقه در جدول (۹) آورده شده‌اند. نتایجی که از بررسی مثال‌ها استنتاج می‌شود عبارتند از:

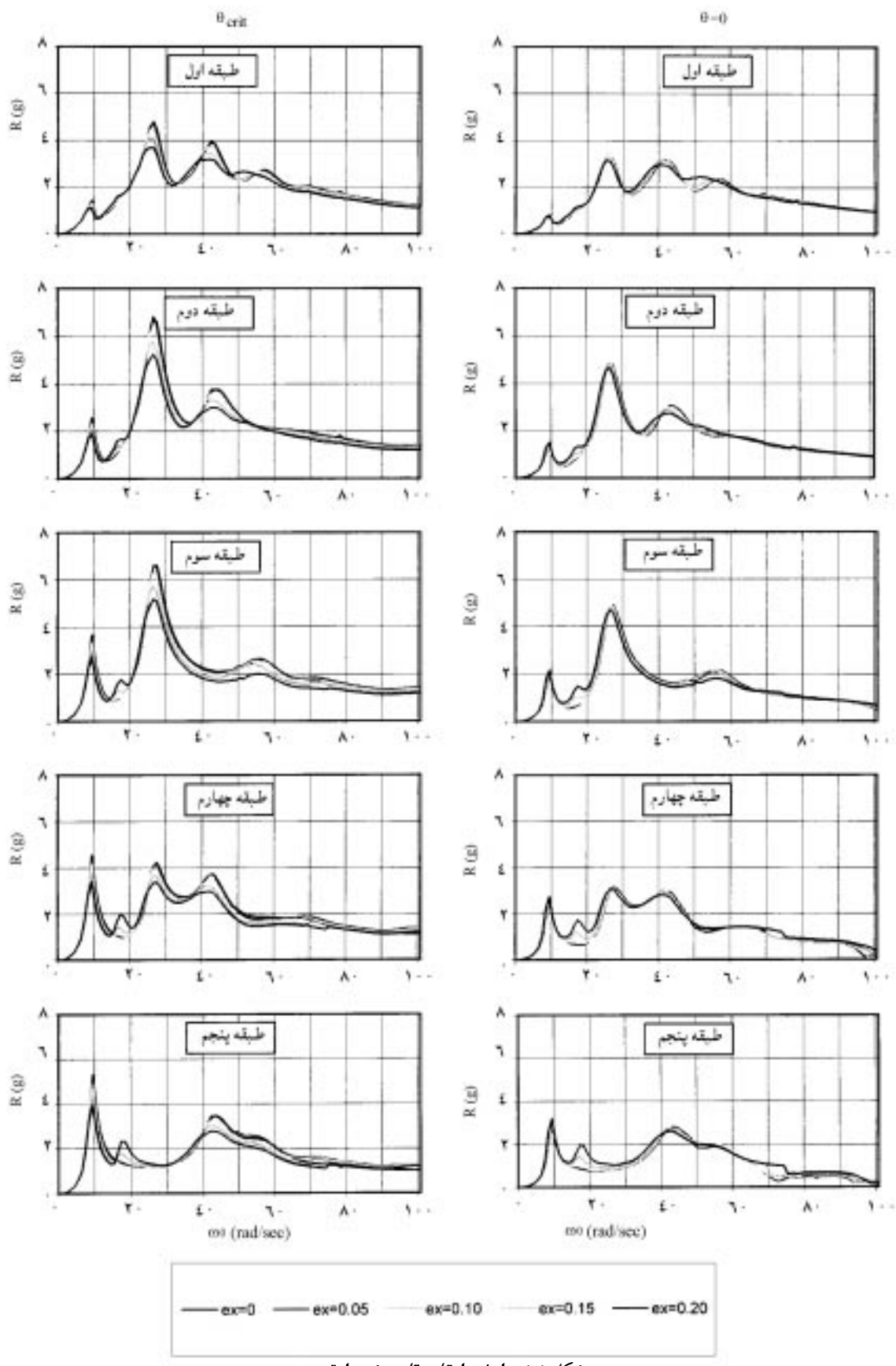
- با افزایش خروج از محوری برای مدهای هم فرکانس با مدهای جانبی مقدار طیف پاسخ طبقه کاهش می‌یابد؛ ولی، برای مدهای هم فرکانس با مدهای پیچشی این مقدار افزایش می‌یابد.
- میزان بزرگنمایی طیف طبقه در مدهای جانبی بسیار بزرگ‌تر از مدهای پیچشی است. به عبارت دیگر، مدهای جانبی تأثیر بسیار بیشتری بر روی بزرگنمایی طیف طبقه دارند (منظور از



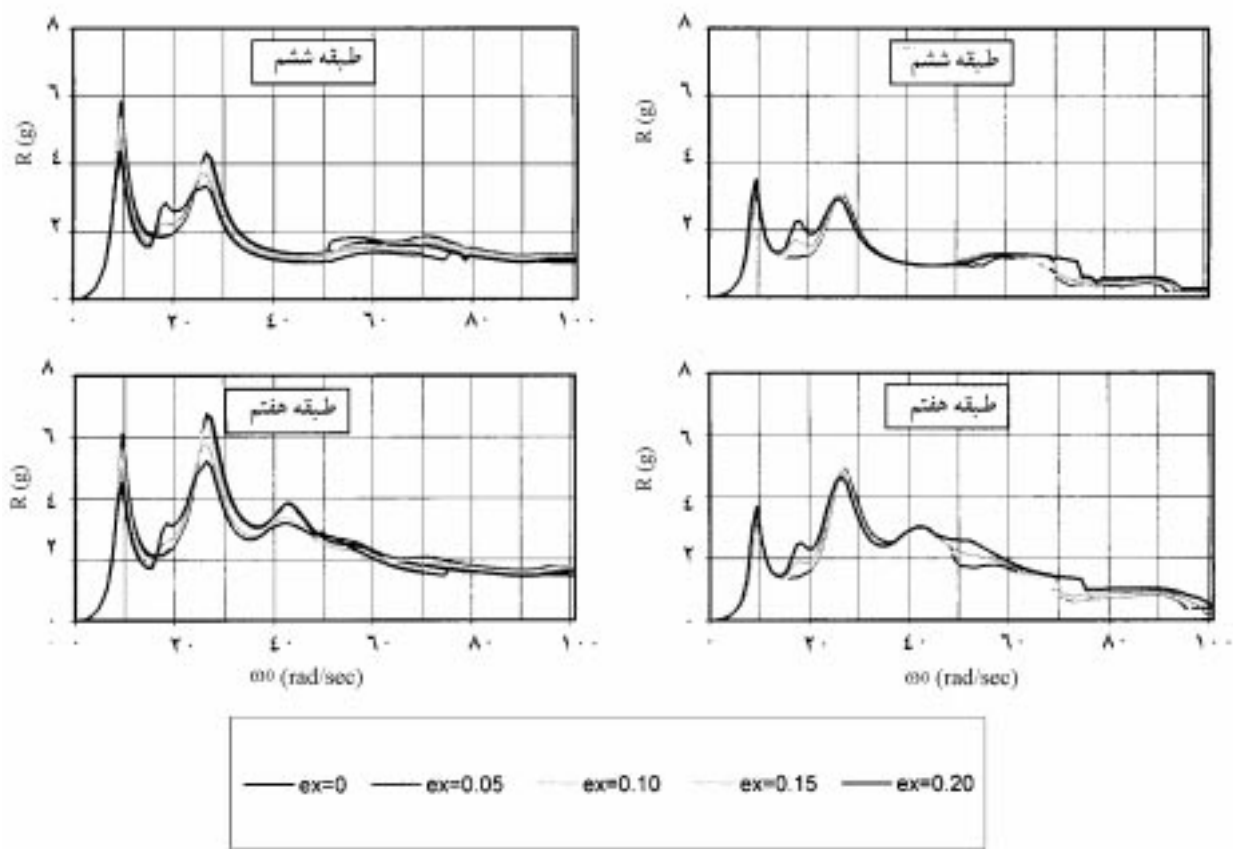
شكل (٣): طيف طبقات قاب سه طبقة



شکل (۴): طیف طبقات قاب پنج طبقه



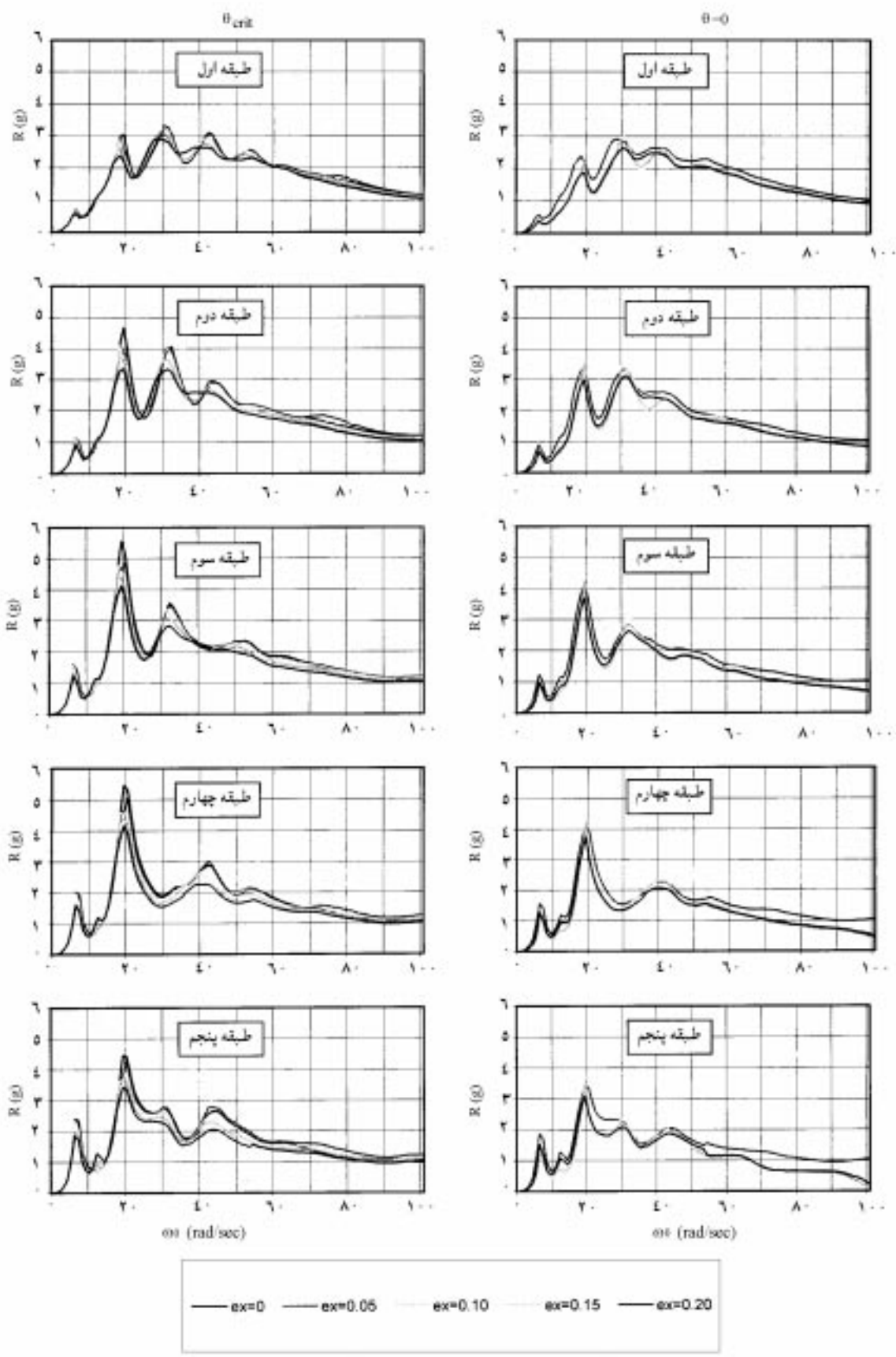
شكل (٥): طيف طبقات قاب هفت طبقة



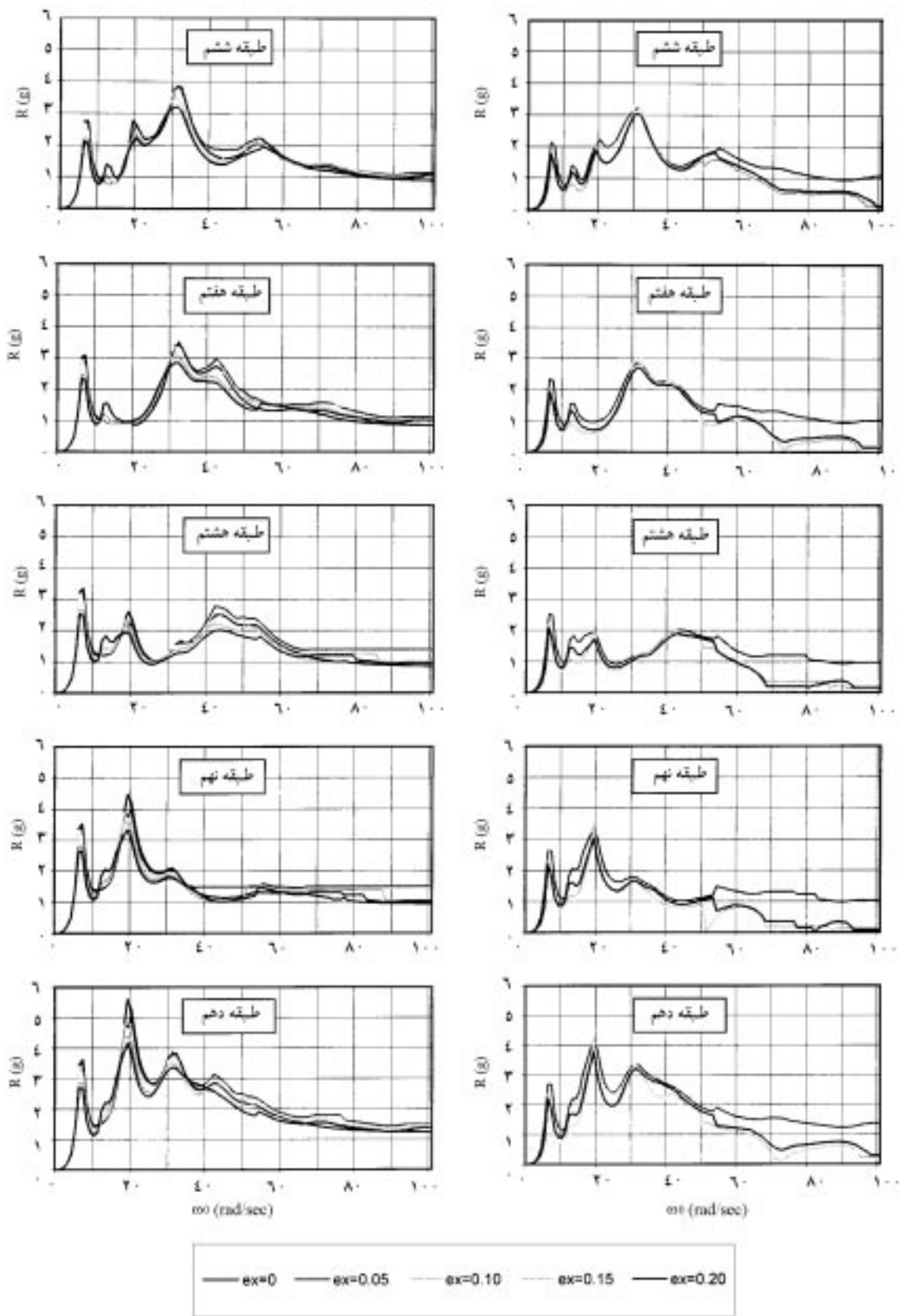
ادامه شکل (۵)

جدول (۶): مقادیر حداقل طیف طبقات قاب سه طبقه

e=0.20		e=0.15		e=0.10		e=0.05		e=0	
θ_{crit}	$\theta = 0$	θ_{crit}							
۷/۰۱	۵/۵۶	۷/۶۳	۷/۵۲	۷/۵۰	۷/۴۹	۷/۹۸	۷/۹۸	۸/۰۰	طبقه اول
۲/۶۷	۲/۶۷	۲/۲۸	۲/۲۷	۲/۰۸	۲/۰۸	۲/۰۱	۲/۰۱	۲/۰۱	
۴/۴۹	۴/۴۸	۴/۹۸	۴/۹۸	۵/۲۸	۵/۲۸	۵/۰۱	۵/۰۱	۵/۴۷	
۱۰/۵۶	۹/۸۵	۱۱/۷۲	۱۱/۵۸	۱۳/۲۲	۱۳/۲۲	۱۳/۹۸	۱۳/۹۸	۱۳/۹۷	طبقه دوم
۳/۴۱	۳/۴۱	۳/۰۲	۳/۰۱	۲/۹۴	۲/۹۳	۳/۰۹	۳/۰۹	۳/۱۵	
۲/۸۶	۲/۸۳	۲/۹۶	۲/۹۵	۳/۱۵	۳/۱۵	۳/۲۴	۳/۲۶	۳/۲۶	
۱۳/۱۳	۱۲/۲۸	۱۴/۵۹	۱۴/۴۳	۱۶/۴۴	۱۶/۴۳	۱۷/۳۵	۱۷/۳۴	۱۷/۳۲	طبقه سوم
۴/۵۸	۴/۵۸	۴/۲۰	۴/۲۰	۴/۱۰	۴/۰۹	۴/۳۳	۴/۳۳	۴/۴۲	
۴/۳۴	۴/۳۴	۴/۶۹	۴/۶۸	۴/۹۵	۴/۹۵	۵/۱۳	۵/۱۳	۵/۱۳	



شكل (١): طيف طبقات قاب ده



ادامه شکل (۷)

وارد شوند میزان طیف طبقه را افزایش می‌دهد. این افزایش بویژه در قابهای بلند و خروج از محوریهای بزرگ بسیار زیاد می‌شود. بعلاوه، این افزایش در حالت هم فرکانسی مقدار بیشتری می‌شود.

۷- هرچه تعداد طبقات یک قاب بیشتر شود، میزان بزرگنمایی طیف طبقه آن کمتر می‌شود. البته این نتیجه نیز با توجه به افزایش زمان تناوب و کاهش طیف پاسخ زمین کاملاً قابل توجیه است.

۴- در طبقات پایین تعداد بیشتری مد هم فرکانس وجود دارد؛ ولی، در طبقات بالاتر تعداد مدهای هم فرکانس کم می‌شود.

۵- در مورد قاب ده طبقه که زمان تناوب مد اول آن حدود ۱/۰ ثانیه است، میزان بزرگنمایی مد اول کم است. این موضوع با توجه به اینکه میزان طیف پاسخ زمین در این زمان تناوب، کم می‌باشد قابل توجیه است.

۶- در نظر گرفتن این مسئله که موافقه های زلزله می‌توانند در امتداد زاویه بحرانی و نه در امتدادهای اصلی سازه به قاب

جدول (۷): مقادیر حداقل طیف طبقات قاب پنج طبقه

e=0.20		e=0.15		e=0.10		e=0.05		e=0	
θcrit	θ = 0	θcrit							
۲/۵۲	۲/۰۱	۲/۶۹	۲/۲۰	۲/۹۴	۲/۲۴	۲/۸۸	۲/۷۰	۳/۴۱	طبقه اول
۲/۳۷	۱/۹۰	۲/۰۷	۱/۵۸	۱/۸۱	۱/۳۱	۱/۷۶	۱/۲۶	۱/۷۶	طبقه دوم
۴/۴۶	۴/۳۱	۴/۹۱	۴/۷۱	۵/۲۷	۴/۸۹	۵/۳۹	۵/۰۹	۵/۴۳	طبقه سوم
۲/۸۳	۲/۶۵	۳/۰۶	۲/۸۳	۳/۲۱	۲/۹۹	۳/۳۲	۳/۰۳	۳/۳۰	طبقه چهارم
۴/۶۷	۳/۷۹	۴/۸۳	۴/۱۸	۵/۴۳	۴/۲۲	۵/۱۸	۵/۰۹	۶/۲۷	طبقه پنجم
۲/۴۶	۲/۱۸	۱/۸۷	۱/۵۷	۱/۵۴	۱/۱۴	۱/۴۸	۱/۰۱	۱/۴۹	
۵/۵۱	۵/۲۸	۵/۹۸	۵/۶۸	۶/۴۲	۶/۰۱	۶/۶۲	۶/۲۶	۶/۷۹	
۱/۹۹	۱/۸۶	۲/۰۱	۱/۸۳	۲/۱۲	۱/۸۹	۲/۲۱	۱/۹۵	۲/۲۳	
۶/۴۶	۵/۳۲	۶/۷۵	۵/۸۶	۷/۵۸	۵/۹۱	۷/۲۰	۷/۱۰	۸/۷۱	
۲/۹۳	۲/۶۴	۲/۲۲	۱/۹۲	۱/۹۲	۱/۴۰	۱/۹۲	۱/۲۵	۱/۹۴	
۳/۴۶	۳/۱۹	۳/۶۴	۳/۳۱	۳/۸۲	۳/۴۵	۳/۹۳	۳/۵۳	۴/۰۰	
۲/۷۹	۲/۵۶	۲/۹۳	۲/۶۵	۳/۰۹	۲/۷۷	۳/۱۸	۲/۸۱	۳/۲۱	
۷/۷۹	۷/۴۲	۸/۱۴	۷/۰۸	۹/۱۳	۷/۱۲	۸/۶۵	۸/۵۵	۱۰/۴۷	
۳/۶۵	۳/۲۵	۲/۹۸	۲/۵۱	۲/۷۱	۱/۹۴	۲/۷۱	۱/۸۱	۲/۷۴	
۲/۵۲	۲/۲۹	۲/۵۴	۲/۲۳	۲/۶۲	۲/۲۲	۲/۶۷	۲/۲۵	۲/۷۰	
۱/۸۹	۱/۷۰	۲/۰۲	۱/۷۲	۲/۱۶	۱/۷۶	۲/۲۷	۱/۷۹	۲/۲۷	
۸/۴۹	۷/۰۰	۸/۸۶	۷/۷۱	۹/۹۵	۷/۷۶	۹/۴۲	۹/۳۱	۱۱/۴۰	
۴/۳۰	۳/۷۲	۳/۶۳	۲/۹۶	۳/۲۱	۲/۴۶	۳/۲۷	۲/۲۲	۳/۲۹	
۵/۱۹	۴/۹۶	۵/۷۰	۵/۳۶	۶/۱۶	۵/۶۲	۶/۲۹	۵/۸۷	۶/۴۶	
۲/۷۳	۲/۵۵	۲/۸۷	۲/۵۷	۳/۰۰	۲/۶۲	۳/۱۳	۲/۶۶	۳/۱۷	

جدول (۸): مقادیر حداقل طیف طبقات قاب هفت طبقه

e=0.20		e=0.15		e=0.10		e=0.05		e=0		
θ_{crit}	$\theta = 0$	θ_{crit}								
۱/۰۸	۰/۸۰	۱/۱۷	۰/۷۷	۱/۳۱	۰/۷۸	۱/۴۳	۰/۷۵	۱/۴۴	اولین مد جانبی	طبقه اول
۱/۶۷	۱/۱۷	۱/۵۰	۱/۰۲	۱/۴۰	۰/۹۳	۱/۳۹	۰/۷۷	۱/۱۸	اولین مد پیچشی	
۳/۶۸	۳/۱۶	۴/۱۳	۳/۳۲	۴/۴۵	۳/۳۹	۴/۷۳	۳/۴۱	۴/۷۸	دومین مد جانبی	
۳/۱۹	۲/۹۶	۳/۴۸	۳/۱۷	۳/۷۲	۳/۲۸	۳/۹۶	۳/۲۶	۳/۹۰	سومین مد جانبی	
۲/۶۷	۲/۴۷	۲/۵۷	۲/۳۲	۲/۶۶	۲/۳۳	۲/۷۲	۲/۳۷	۲/۷۳	چهارمین مد جانبی	
۱/۹۰	۱/۵۰	۲/۰۸	۱/۴۵	۲/۳۴	۱/۴۵	۲/۵۷	۱/۳۷	۲/۵۷	اولین مد جانبی	طبقه دوم
۱/۶۷	۱/۲۲	۱/۳۵	۱/۰۱	۱/۱۵	۰/۸۰	۱/۱۱	۰/۶۲	۰/۹۴	اولین مد پیچشی	
۵/۲۰	۴/۶۷	۵/۷۸	۴/۸۶	۶/۴۱	۴/۹۷	۶/۷۷	۴/۹۴	۶/۸۱	دومین مد جانبی	
۳/۰۰	۲/۷۲	۳/۲۹	۲/۹۰	۳/۶۶	۳/۰۰	۳/۷۷	۲/۸۷	۳/۷۶	سومین مد جانبی	
۲/۳۸	۲/۱۷	۲/۱۷	۱/۹۰	۲/۱۲	۱/۷۹	۲/۱۶	۱/۷۵	۲/۱۴	چهارمین مد جانبی	
۲/۶۹	۲/۱۶	۲/۹۷	۲/۱۰	۳/۳۴	۲/۰۹	۳/۶۴	۱/۹۷	۳/۶۵	اولین مد جانبی	طبقه سوم
۱/۷۸	۱/۵۱	۱/۲۹	۱/۰۵	۱/۰۰	۰/۷۳	۰/۹۴	۰/۵۷	۰/۹۴	اولین مد پیچشی	
۵/۱۸	۴/۷۰	۵/۷۱	۴/۸۵	۶/۲۸	۴/۹۰	۶/۵۷	۴/۹۱	۶/۶۰	دومین مد جانبی	
۱/۷۱	۱/۴۷	۱/۸۴	۱/۵۳	۱/۹۸	۱/۵۷	۲/۰۸	۱/۶۳	۲/۱۲	سومین مد جانبی	
۲/۰۱	۱/۸۲	۲/۴۵	۲/۱۳	۲/۰۷	۲/۱۸	۲/۶۵	۲/۱۷	۲/۶۲	چهارمین مد جانبی	
۳/۳۹	۲/۷۴	۳/۷۴	۲/۶۶	۴/۲۰	۲/۶۴	۴/۵۸	۲/۴۹	۴/۵۸	اولین مد جانبی	طبقه چهارم
۲/۰۱	۱/۷۲	۱/۴۲	۱/۱۸	۱/۱۴	۰/۸۲	۱/۰۸	۰/۶۹	۱/۱۵	اولین مد پیچشی	
۳/۳۹	۳/۰۸	۳/۶۶	۳/۱۱	۳/۹۵	۳/۱۷	۴/۱۸	۳/۲۰	۴/۲۳	دومین مد جانبی	
۲/۹۷	۲/۸۲	۳/۲۳	۲/۹۷	۳/۴۹	۳/۰۴	۳/۷۷	۳/۰۶	۳/۷۴	سومین مد جانبی	
۱/۴۷	۱/۳۶	۱/۵۹	۱/۳۹	۱/۷۰	۱/۴۴	۱/۸۷	۱/۳۳	۱/۷۹	چهارمین مد جانبی	
۳/۹۴	۳/۲۰	۴/۳۶	۳/۱۱	۴/۸۹	۳/۰۹	۵/۳۲	۲/۹۱	۵/۳۲	اولین مد جانبی	طبقه پنجم
۲/۳۳	۱/۹۹	۱/۷۸	۱/۴۳	۱/۵۳	۱/۰۶	۱/۴۷	۰/۹۳	۱/۵۴	اولین مد پیچشی	
۱/۳۷	۱/۱۰	۱/۲۴	۰/۹۱	۱/۲۱	۰/۸۴	۱/۲۰	۰/۸۱	۱/۲۰	دومین مد جانبی	
۲/۷۹	۲/۶۱	۳/۰۳	۲/۷۴	۳/۳۰	۲/۸۱	۳/۴۸	۲/۸۲	۳/۴۷	سومین مد جانبی	
۲/۱۱	۱/۹۹	۲/۲۴	۱/۹۱	۲/۲۸	۱/۹۳	۲/۴۱	۱/۸۸	۲/۳۶	چهارمین مد جانبی	
۴/۳۳	۳/۵۲	۴/۷۹	۳/۴۲	۵/۳۶	۳/۴۰	۵/۸۴	۳/۲۰	۵/۸۳	اولین مد جانبی	طبقه ششم
۲/۸۴	۲/۲۷	۱/۹۷	۱/۷۲	۱/۹۳	۱/۳۲	۱/۸۹	۱/۲۰	۱/۹۱	اولین مد پیچشی	
۳/۳۵	۲/۹۳	۳/۷۰	۳/۰۵	۴/۰۸	۳/۱۲	۴/۳۱	۳/۱۲	۴/۳۳	دومین مد جانبی	
۱/۱۱	۰/۹۶	۱/۱۹	۰/۹۳	۱/۲۷	۰/۹۱	۱/۳۵	۰/۹۳	۱/۳۷	سومین مد جانبی	
۱/۳۸	۱/۲۸	۱/۵۰	۱/۳۱	۱/۶۲	۱/۳۴	۱/۸۳	۱/۲۰	۱/۶۹	چهارمین مد جانبی	
۴/۵۳	۳/۶۸	۵/۰۱	۳/۵۸	۵/۶۱	۳/۵۶	۶/۱۰	۳/۳۵	۶/۱۰	اولین مد جانبی	طبقه هفتم
۳/۱۸	۲/۵۱	۲/۱۸	۱/۹۱	۲/۱۸	۱/۰۰	۲/۱۵	۱/۳۷	۲/۱۴	اولین مد پیچشی	
۵/۲۳	۴/۶۴	۵/۷۸	۴/۸۴	۶/۳۹	۴/۹۵	۶/۷۳	۴/۹۱	۶/۷۵	دومین مد جانبی	
۳/۱۹	۳/۰۲	۳/۳۰	۳/۰۵	۳/۶۱	۳/۰۵	۳/۷۶	۳/۰۱	۳/۸۲	سومین مد جانبی	
۲/۶۷	۲/۵۵	۲/۳۱	۲/۰۴	۲/۳۳	۱/۹۲	۲/۰۰	۱/۷۸	۲/۴۲	چهارمین مد جانبی	

جدول (۹): مقادیر حداقل طبقات قاب ده طبقه

e=0.20		e=0.15		e=0.10		e=0.05		e=0	مدهای جانبی و پیچشی	طبقات
θcrit	θ = 0	θcrit								
۰/۵۸	۰/۳۹	۰/۶۲	۰/۴۲	۰/۷۰	۰/۳۶	۰/۷۲	۰/۳۵	۰/۷۳	اولین مد جانبی	طبقه اول
۰/۹۶	۰/۵۸	۰/۹۲	۰/۵۵	۰/۸۹	۰/۵۲	۰/۸۸	۰/۵۱	۰/۸۷	اولین مد پیچشی	
۲/۳۸	۱/۸۷	۲/۶۳	۲/۲۱	۲/۸۹	۲/۲۱	۲/۹۶	۲/۳۶	۳/۰۳	دومین مد جانبی	
۲/۸۹	۲/۶۳	۳/۱۰	۲/۸۵	۳/۲۶	۲/۹۱	۳/۳۲	۳/۱۳	۳/۲۵	سومین مد جانبی	
۲/۶۴	۱/۴۸	۲/۷۵	۲/۵۳	۲/۹۳	۲/۶۱	۳/۱۰	۲/۶۰	۳/۰۵	چهارمین مد جانبی	
۲/۳۰	۲/۰۶	۲/۴۰	۲/۱۱	۲/۵۲	۲/۱۹	۲/۵۴	۲/۲۰	۲/۰۵	پنجمین مد جانبی	
۰/۹۰	۰/۶۹	۰/۹۶	۰/۷۴	۱/۱۳	۰/۵۹	۱/۱۶	۰/۵۶	۱/۱۶	اولین مد جانبی	طبقه دوم
۰/۹۳	۰/۶۲	۰/۸۶	۰/۵۵	۰/۸۰	۰/۴۹	۰/۷۷	۰/۴۵	۰/۷۷	اولین مد پیچشی	
۲/۳۰	۲/۹۸	۳/۷۴	۳/۵۵	۴/۱۲	۳/۵۹	۴/۱۹	۳/۷۵	۴/۶۶	دومین مد جانبی	
۲/۳۴	۳/۱۳	۳/۶۵	۳/۳۷	۴/۰۰	۳/۶۰	۴/۰۶	۳/۹۳	۴/۰۳	سومین مد جانبی	
۲/۰۹	۲/۳۹	۲/۶۷	۲/۳۶	۲/۸۶	۲/۳۸	۲/۹۵	۲/۴۱	۲/۹۱	چهارمین مد جانبی	
۱/۹۰	۱/۷۱	۲/۰۲	۱/۷۵	۲/۱۶	۱/۸۲	۲/۲۰	۱/۸۵	۲/۱۹	پنجمین مد جانبی	
۱/۲۴	۰/۹۸	۱/۳۲	۱/۰۶	۱/۵۶	۰/۸۲	۱/۶۱	۰/۷۷	۱/۶۱	اولین مد جانبی	طبقه سوم
۰/۹۰	۰/۶۷	۰/۸۰	۰/۵۷	۰/۷۲	۰/۴۵	۰/۶۹	۰/۴۰	۰/۶۹	اولین مد پیچشی	
۴/۱۲	۳/۶۸	۴/۳۷	۴/۲۲	۴/۷۷	۴/۳۷	۴/۸۷	۴/۵۹	۵/۰۵	دومین مد جانبی	
۲/۸۳	۲/۶۲	۳/۰۸	۲/۸۰	۳/۴۰	۳/۰۲	۳/۵۸	۳/۱۶	۳/۴۹	سومین مد جانبی	
۲/۰۴	۱/۷۶	۲/۰۳	۱/۷۰	۲/۰۷	۱/۶۹	۲/۱۶	۱/۶۳	۲/۱۰	چهارمین مد جانبی	
۲/۰۷	۱/۸۴	۲/۱۸	۱/۸۵	۲/۲۹	۱/۸۲	۲/۳۴	۱/۸۸	۲/۳۵	پنجمین مد جانبی	
۱/۵۷	۱/۲۶	۱/۶۶	۱/۳۷	۱/۹۸	۱/۰۴	۲/۰۳	۰/۹۷	۲/۰۳	اولین مد جانبی	طبقه چهارم
۰/۸۸	۰/۷۲	۰/۷۷	۰/۵۹	۰/۶۸	۰/۴۴	۰/۶۷	۰/۳۶	۰/۶۷	اولین مد پیچشی	
۴/۱۶	۳/۷۳	۴/۳۹	۴/۲۷	۴/۶۷	۴/۳۹	۵/۰۶	۴/۶۱	۵/۴۶	دومین مد جانبی	
۱/۰۹	۱/۴۰	۱/۷۴	۱/۴۷	۱/۸۶	۱/۵۲	۱/۹۴	۱/۵۶	۱/۹۷	سومین مد جانبی	
۲/۲۶	۲/۰۷	۲/۵۹	۲/۳۰	۲/۷۵	۲/۳۹	۳/۰۱	۲/۳۲	۲/۸۹	چهارمین مد جانبی	
۱/۷۵	۱/۵۵	۱/۹۵	۱/۵۴	۲/۰۸	۱/۶۰	۲/۱۵	۱/۶۳	۲/۱۱	پنجمین مد جانبی	
۱/۸۷	۱/۰۱	۱/۹۸	۱/۶۴	۲/۳۶	۱/۲۴	۲/۴۱	۱/۱۵	۲/۴۱	اولین مد جانبی	طبقه پنجم
۱/۲۸	۱/۰۶	۰/۹۱	۰/۷۳	۰/۷۲	۰/۴۶	۰/۷۲	۰/۳۷	۰/۷۳	اولین مد پیچشی	
۳/۴۳	۳/۰۸	۳/۶۳	۳/۵۶	۳/۹۷	۳/۵۴	۴/۲۶	۳/۶۶	۴/۴۵	دومین مد جانبی	
۲/۳۴	۲/۰۹	۲/۴۸	۲/۲۴	۲/۶۴	۲/۳۶	۲/۷۷	۲/۴۹	۲/۷۸	سومین مد جانبی	
۲/۰۵	۱/۸۸	۲/۲۹	۲/۰۳	۲/۶۰	۲/۱۱	۲/۷۸	۲/۰۱	۲/۶۶	چهارمین مد جانبی	
۱/۴۹	۱/۳۷	۱/۶۹	۱/۱۹	۱/۸۴	۱/۲۵	۱/۹۹	۱/۳۴	۱/۸۹	پنجمین مد جانبی	

۲/۱۳	۱/۷۴	۲/۲۶	۱/۸۸	۲/۶۹	۱/۴۱	۲/۷۵	۱/۳۰	۲/۷۶	اولین مد جانبی	
۱/۴۰	۱/۱۹	۱/۰۳	۰/۸۱	۰/۸۳	۰/۵۲	۰/۸۵	۰/۴۴	۰/۸۷	اولین مد پیچشی	
۲/۲۱	۱/۸۷	۲/۳۳	۲/۱۲	۲/۵۱	۲/۰۲	۲/۱۵	۲/۰۶	۲/۷۷	دومین مد جانبی	
۳/۲۱	۳/۰۵	۳/۴۸	۳/۲۵	۳/۷۶	۳/۴۶	۳/۸۴	۳/۷۵	۳/۸۷	سومین مد جانبی	
۱/۳۹	۱/۲۸	۱/۴۲	۱/۲۰	۱/۰۱	۱/۲۸	۱/۸۶	۰/۹۷	۱/۰۹	چهارمین مد جانبی	
۱/۹۶	۱/۸۲	۲/۰۷	۱/۶۱	۲/۶۴	۱/۵۷	۲/۲۳	۱/۵۹	۲/۱۲	پنجمین مد جانبی	
۲/۳۵	۱/۹۲	۲/۴۹	۲/۰۸	۲/۹۶	۱/۵۶	۳/۰۳	۱/۴۳	۳/۰۹	اولین مد جانبی	
۱/۰۶	۱/۳۲	۱/۲۱	۰/۹۳	۱/۰۴	۰/۶۳	۱/۰۳	۰/۵۲	۱/۰۵	اولین مد پیچشی	
۰/۹۷	۰/۷۲	۰/۹۲	۰/۶۳	۰/۹۲	۰/۵۶	۰/۹۲	۰/۵۶	۰/۹۶	دومین مد جانبی	
۲/۸۶	۲/۷۱	۳/۱۱	۲/۹۰	۳/۳۵	۳/۰۸	۳/۵۲	۳/۳۰	۳/۴۳	سومین مد جانبی	
۲/۲۷	۲/۱۴	۲/۴۴	۲/۲۴	۲/۶۰	۲/۳۰	۲/۹۷	۲/۱۴	۲/۷۳	چهارمین مد جانبی	
۱/۳۵	۱/۲۴	۱/۶۲	۰/۸۷	۱/۶۵	۰/۷۶	۱/۷۰	۰/۷۴	۱/۴۰	پنجمین مد جانبی	
۲/۰۲	۲/۰۶	۲/۶۷	۲/۲۳	۳/۱۷	۱/۶۷	۳/۲۴	۱/۵۵	۳/۳۵	اولین مد جانبی	
۱/۸۴	۱/۴۶	۱/۴۳	۱/۰۶	۱/۱۶	۰/۷۰	۱/۲۱	۰/۶۴	۱/۲۳	اولین مد پیچشی	
۱/۹۲	۱/۷۲	۲/۱۶	۲/۰۸	۲/۳۶	۲/۰۱	۲/۳۹	۲/۱۰	۲/۶۰	دومین مد جانبی	
۱/۲۹	۱/۱۹	۱/۴۱	۱/۲۵	۱/۵۴	۱/۳۲	۱/۶۱	۱/۳۶	۱/۶۷	سومین مد جانبی	
۲/۰۱	۱/۹۰	۲/۲۰	۱/۹۹	۲/۵۹	۲/۰۴	۲/۷۷	۱/۷۴	۲/۵۱	چهارمین مد جانبی	
۱/۷۵	۱/۶۷	۲/۱۳	۱/۴۷	۲/۳۱	۱/۵۱	۲/۳۸	۱/۵۳	۲/۱۸	پنجمین مد جانبی	
۲/۶۳	۲/۱۶	۲/۷۹	۲/۳۴	۳/۳۲	۱/۷۵	۳/۴۰	۱/۶۳	۳/۵۲	اولین مد جانبی	
۱/۱۶	۱/۱۰	۱/۲۳	۰/۹۴	۱/۳۰	۰/۷۹	۱/۳۶	۰/۷۳	۱/۳۸	اولین مد پیچشی	
۳/۳۴	۳/۰۱	۳/۵۹	۳/۵۰	۳/۹۰	۳/۵۲	۳/۹۹	۳/۷۴	۴/۴۷	دومین مد جانبی	
۱/۷۸	۱/۶۶	۱/۸۶	۱/۶۶	۱/۹۷	۱/۶۸	۲/۰۶	۱/۸۰	۲/۰۹	سومین مد جانبی	
۱/۰۲	۰/۹۱	۱/۰۱	۰/۸۰	۱/۰۶	۰/۷۵	۱/۴۸	۱/۱۸	۱/۱۵	چهارمین مد جانبی	
۱/۱۹	۱/۱۱	۱/۵۵	۰/۳۷	۱/۰۶	۰/۷۵	۱/۴۸	۱/۱۸	۱/۳۰	پنجمین مد جانبی	
۲/۶۹	۲/۲۱	۲/۸۶	۲/۳۹	۳/۳۹	۱/۷۹	۳/۴۹	۱/۶۷	۳/۶۲	اولین مد جانبی	
۱/۲۳	۱/۱۴	۱/۳۰	۰/۹۹	۱/۳۸	۰/۸۴	۱/۴۴	۰/۷۹	۱/۴۷	اولین مد پیچشی	
۴/۱۶	۳/۷۶	۴/۳۹	۴/۲۳	۴/۶۲	۴/۴۰	۵/۰۳	۴/۵۸	۵/۶۰	دومین مد جانبی	
۳/۳۷	۳/۲۱	۳/۵۳	۳/۲۸	۳/۷۳	۳/۳۷	۳/۸۴	۳/۶۱	۳/۸۵	سومین مد جانبی	
۲/۵۹	۲/۴۹	۲/۵۸	۲/۳۷	۲/۸۳	۲/۳۲	۳/۱۳	۲/۰۷	۲/۸۴	چهارمین مد جانبی	
۱/۷۷	۱/۶۴	۲/۱۱	۱/۳۰	۲/۲۸	۱/۳۷	۲/۳۸	۱/۳۸	۲/۱۴	پنجمین مد جانبی	

۵- نتیجه گیری

طیف پاسخ آن را به دست آورد.

روش ارتعاشات پیشا روشنی مناسب برای تحلیل سیستم های ثانویه در تحلیل و طراحی این سیستم ها لازم است اثر چند مؤلفه ای بودن زلزله در نظر گرفته شود؛ زیرا، در نظر نگرفتن آن می تواند خطاهای

است و با کمک آن می توان کلیه ویژگی های آماری پاسخ سیستم ثانویه از

جمله تابع چگالی طیفی، تابع خود همبستگی، میانگین مربعات و

۶- مراجع

- 1-Singh, M. P., "Generation of Seismic Floor Spectra", J. Eng. Mech., ASCE, Vol. 101, No. EM5, 1975, 593-607.
- 2-Sharma, A.M., and Singh, M. P., "Direct Generation of Seismic Floor Response Spectra for Classically and Nonclassically Damped Structures", Tech. Rept., Virginia Univ., 1983.
- 3-Sackman, J.L., Derkiureghian, A., and Nour-Omid, B., "Dynamic Analysis of Light Equipment in Structures: Modal Properties of Combined System", J. Eng. Mech., ASCE, Vol. 109, No.1, 1983, 73-89.
- 4-Derkiureghian, A., Sackman, J.L., and Nour-Omid, B., "Dynamic Analysis of Light Equipment in Structures: Response to Stochastic Input", J. Eng. Mech., ASCE, Vol. 109, No. 1, 1983, 90-110.
- 5-Asfura, A., and Derkiureghian, A., "Floor Response Spectrum Method for Seismic Analysis of Multiply Supported Secondary Systems", Eq. Eng. St. Dyn., Vol. 14, 1986, 245-265.
- 6-Burdisso, R., and Singh, M. P., "Seismic Analysis of Multiply Supported Secondary Systems with Dynamic Interaction Effects", Eq. Eng. Str. Dyn., Vol. 15, 1987, 1005-1022.
- 7-Dey, A., and Gupta, V. K., "Response of Multiply Supported Secondary Systems to Earthquakes in Frequency Domain" Eq. Eng. Str. Dyn., Vol. 27, 1998, 187-201.

بزرگی را در برآورد پاسخ سیستم ثانویه ایجاد نماید؛ بویژه، در مواردی که سازه بلند باشد یا خروج از محوری آن زیاد باشد، یا هم فرکانسی وجود داشته باشد ضروری است زلزله به صورت چند مؤلفه ای در نظر گرفته شود.

پیوست یک، محاسبه ضرایب A_{jo} تا D_{jo}

ضرایب A_{jo} تا D_{jo} از حل دستگاه زیر به دست می آیند:

$$\begin{bmatrix} 0 & 1 & 0 & r^2 \\ 1 & -2r^2(1-2\xi_j^2) & r^4 & -2r^2(1-2\xi_o^2) \\ -2r^2(1-2\xi_j^2) & r^4 & -2r^4(1-2\xi_o^2) & r^2 \\ 1 & 0 & 1 & 0 \end{bmatrix} \begin{Bmatrix} A_{jo} \\ B_{jo} \\ C_{jo} \\ D_{jo} \end{Bmatrix} = \begin{Bmatrix} 0 \\ 16\xi_o^2\xi_j^2r^2 \\ 4r^2(\xi_o^2r^2 + \xi_j^2) \\ 1 \end{Bmatrix}$$

که در آن $r = \frac{\omega_j}{\omega_o}$ است.

پیوست دو، محاسبه ضرایب A_{jko} تا F_{jko}

ضرایب A_{jko} تا F_{jko} از حل دستگاه زیر به دست می آیند:

$$\begin{bmatrix} 0 & 1 & 0 & r_j^2 & 0 & r_k^2 \\ 1 & v_j + v_k & r_j^4 & r_j^2(v_o + v_k) & r_k^2(v_o + v_j) & r_k^2(v_o + v_j) \\ v_j + v_k & r_j^4 + r_k^4 + v_j + v_k & r_j^4(v_o + v_k) & r_j^2(1 + r_k^4 + v_o v_k) & r_k^4(v_o + v_j) & r_k^2(1 + r_j^4 + v_o v_j) \\ r_j^4 + r_k^4 + v_j + v_k & v_k r_j^4 + v_j r_k^4 & r_j^4(1 + r_k^4 + v_o v_k) & r_j^2(v_k + v_o v_k^4) & r_k^4(1 + r_j^4 + v_o v_j) & r_k^2(v_o r_j^4 + v_j) \\ r_j^4 + r_k^4 + v_j & r_j^4 r_k^4 & r_j^4(v_k + v_o r_k^4) & r_j^2 r_k^4 & r_k^4(v_j + v_o r_j^4) & r_j^4 v_k^2 \\ 1 & 0 & 1 & 0 & 1 & 0 \end{bmatrix} \begin{Bmatrix} A_{jko} \\ B_{jko} \\ C_{jko} \\ D_{jko} \\ E_{jko} \\ F_{jko} \end{Bmatrix} = \begin{Bmatrix} 0 \\ 16\xi_j \xi_k \xi_o^2 r_j r_k \\ -16\xi_j \xi_k \xi_o^2 r_j r_k (r_j^2 + r_k^2) \\ -4\xi_j \xi_k r_j r_k (r_j^2 + r_k^2) \\ 4\xi_o^2 r_j^4 r_k^4 + 8\xi_j \xi_k r_j^3 r_k^3 - r_j^2 r_k^2 (r_j^2 + r_k^2) \\ 1 \end{Bmatrix}$$

که در آن:

$$r_j = \frac{\omega_j}{\omega_o} \quad r_k = \frac{\omega_k}{\omega_o}$$

$$v_o = -2(1-2\xi_o^2)$$

$$v_j = -2r_j^2(1-2\xi_j^2)$$

$$v_k = -2r_k^2(1-2\xi_k^2)$$

- 8-Dey, A., and Gupta, V. K., "Stochastic Response of Multiply Supported Secondary Systems in Flexible-Base Structures", Eq. Eng. Str. Dyn., Vol. 28, 1999, 351-369.
- 9-Hsueh, W. J., "Analytical Solution for Frequency Response of Equipment in Laterally Loaded Multistory Buildings", Eq. Eng. Str. Dyn., Vol. 28, 1999, 1051-1060.
- 10-Bernal, D., "A Dynamic Stiffness Formulation for the Analysis of Secondary Systems", Eq. Eng. Str. Dyn., Vol. 28, 1999, 1295-1308.
- 11-Rosenblueth, E. F., "Tall Buildings Under Five-Component Earthquakes", J. Str. Div., ASCE, Vol. 102, No. ST2, 1976, 455-459.
- 12-Castellani, A., and Boffi, G., "On the Rotational Component of Seismic Motion", Eq. Eng. Str. Dyn., Vol. 18, 1989, 785-797.
- 13-Ashtiani, M. G., and Singh, M. P., "Structural Response for Six Correlated Earthquake Components", Eq. Eng. Str. Dyn., Vol. 14, 1986, 103-119.
- 14-Penzien, J., and Watabe, M., "Characteristics of 3-Dimensional Earthquake Ground Motions", Eq. Eng. Str. Dyn., Vol. 3, 1975, 365-373.
- 15-Wilson, E. L., and Button, M. R., "Three-Dimensional Dynamic Analysis for Multi-Component Earthquake Spectra", Eq. Eng. Str. Dyn., Vol. 10, 1982, 471-476.
- 16-Lopez, O. A., and Torres, R., "The Critical Angle of Seismic Incidence and the Maximum Structural Response", Eq. Eng. Str. Dyn., Vol. 26, 1997, 881-894.
- 17-Vanmarcke, E. H. "Seismic Structural Response", Ch. 8. in Seismic Risk and Decisions, ed. C. Lomnitz and E. F. Rosenblueth, Elsevier Scientific Publishing, 1976 ◀